

МИНИСТЕРСТВО ГЕОЛОГИИ СССР  
ДАЛЬНЕВОСТОЧНОЕ ГЕОЛОГИЧЕСКОЕ УПРАВЛЕНИЕ

# ГЕОЛОГИЧЕСКАЯ КАРТА СССР

масштаба 1 : 200 000

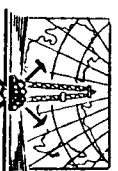
*Серия Становая*

Лист N-52-VIII

Объяснительная записка

Составитель *С. П. Нестеряко*  
Редактор *Ю. П. Расказов*

Утверждена НРС ВСЕГЕИ  
12 декабря 1963 г., протокол № 33



ИЗДАТЕЛЬСТВО «НЕДРА»  
МОСКВА 1968

## СОДЕРЖАНИЕ

Введение . . . . .	3
Стратиграфия . . . . .	5
Интервьюнные образования . . . . .	16
Тектоника . . . . .	31
Геоморфология . . . . .	34
Полезные ископаемые . . . . .	37
Подземные воды . . . . .	49
Литература . . . . .	50
Приложения . . . . .	54

## ВВЕДЕНИЕ

Территория листа N-52.VIII расположена на правобережье р. Зен. Она охватывает южные предгорья Станового хребта и примыкает к северо-западной окраине Верхнезенской впадины. Координаты листа  $54^{\circ}40' - 55^{\circ}20'$  с. ш. и  $127^{\circ}00' - 128^{\circ}00'$  в. д. Эта территория входит в Зейский район Амурской области РСФСР.

Рельеф района довольно однообразный, представляет собой выравненную поверхность, над которой воздымаются невысокие островные горы. Крупные реки, сравнительно глубоко (до 60—80 м) врезанные в коренные породы, расчленяют поверхность выравнивания на меридионально вытянутые водораздельные гряды. Абсолютные отметки высот в юго-восточной части района колеблются от 420 до 540 м, а в северо-западной — от 600 до 1000 м. Относительные превышения соответственно составляют 80—120 и 300—400 м. Густая гидрографическая сеть принадлежит главным образом бассейну р. Брянта. Незначительная часть гидросети восточной половины района относится к бассейну р. Мульмуги. Все крупные реки — Мульмуга, Брянта и ее притоки Утутай, Десс, Лев и Прав. Коханы горного типа. Они характеризуются узкими долинами, большой скоростью течения (до 4 м/сек), изобилуют врезанными меандрами, перекатами. Ширина водотоков обычно составляет 40—70 м, глубина, как правило, на плесах не более 1,5 м, очень редко 3—4 м. На перекатах она уменьшается до 0,6—0,3 м. В периоды паводков уровень рек поднимается на 1,5—3 м. В сухое же время года они настолько мелеют, что многие перекаты обнажаются и переливание на лодках местами становится невозможным. Мелкие ручьи, а также реки Лев и Прав, Коханы в верховьях имеют широкие маршевые долины, спокойное течение (0,8—1,1 м/сек) и образуют многочисленные буждающие меандры.

Обнаженность в районе плохая. Коренные породы встречаются лишь по берегам крупных рек и очень редко на вершинах возвышенностей. Каменные россыпи наблюдаются только в долинах мелких ручьев и у подножий крутых склонов. Склоны и водоразделы покрыты чехлом рыхлых эпивоначально-дельта-виальных отложений, залесены и нередко заболочены.

Климат резко континентальный: лето теплое, иногда даже жаркое, зима холодная. Среднегодовая температура воздуха — 5—6°. Средняя температура января — 30,5°, июля +16,8°. Среднегодовое количество осадков составляет 680—700 мм, из них 335 мм приходится на июль и август, 6,5 мм — на январь и февраль. Снег стаяет в конце апреля — начале мая, в начале мая вскрываются реки. Заморозки начинаются в конце августа, первый снег выпадает 10—25 сентября, окончательно ложится 20 октября — 1 ноября. Широко развита в районе многолетняя мерзлота.

Почвы в долинах подзолистые и торфяные, на водоразделах skeletal. Растительность имеет северный, типично таежный облик. Преобладает лиственница, реже встречаются ель, сосна и кедр, на водоразделах нередко широко распространены береза и осина. Долины покрыты моховыми марьями со скудной кустарниковой и карликовой древесной растительностью. По берегам часто встречаются душистый тополь, ольха, рябина, чермуха, бузина. Много видовых растений — голубики, брусники, клюквы, смородины и др.

Редактор издательства И. Е. Дмитриева  
Технический редактор В. В. Романова  
Корректор А. В. Сергеева

Подписано к печати 23/IV 1968 г.

Печ. л. 4

Формат 60×90/16.  
Тираж 100 экз.

Уч.-изд. л. 6,6  
Заказ № 04009

Издательство «Недра»  
Ленинградская картография ВАГТ

Животный мир довольно разнообразен. Наиболее распространены сох-тай, кабарга, лизюбр, бурый медведь, волк, лиса, рысь, ласка, горностай, выдра, белка, бурндук, заяц-беляк. Долины населены разнообразными птицами — глухарь, рябчик, гусь, утка, бекасы, коршун, совы, дятлы и многие другие.

В экономическом отношении район совершенно не развит. Русские посетили его еще в сороковых годах прошлого века, когда Василий Поярков во главе отряда численностью около 130 человек спустился по р. Брянте и первым из русских достиг рр. Зеи и Амугра. В дореволюционное время на реках Прав, Кохани, Илдеус, Утагли были старательские поселки; теперь они заброшены. Ближайший населенный пункт — с. Потехино — находится на р. Зее, в 17 км от южной рамки территории листа. Назревая район посещают охотники. Дорог нет, имеются лишь три тропы, очень старые запущенные, «Алданский тракт» (из с. Потехино в с. Сулам), тропа Бомнак — Дожд-линый и тропа от р. Утаул к р. Брянте.

Геологические исследования на территории листа долгие время органичивались только поисками золота. В конце прошлого века эту работу проводили старатели и золотопромышленники. В начале текущего столетия в исследовании района приняли участие сотрудники Геолкома П. Б. Риппас и Э. Э. Анерт. Первым в 1900 г. была составлена геологическая карта в м-бе 1:200 000 юго-западной четверти листа, вторым в 1903 г. совершенно маршрутное переосечение восточной части района. Из выводов этих исследований наиболее важным является предположение Э. Э. Анерта о происхождении роговообманковых гнейсов и амфиболитов за счет метаморфизма габброидов. В сороковые годы поиски золота производились трестами «Амурзолото» и «Золоторазведка» (Сыроплетов, Самоделок, 1941; Сушков, 1946).

Начиная с пятидесятых годов геологические работы проводились главным образом Дальневосточным геологическим управлением.

В 1951 г. В. А. Левченко составила геологическую карту в м-бе 1:200 000 юго-западной четверти листа. Впервые в этом районе пороги гнейсового комплекса, отнесенные ею к архею, были расчленены на две свиты: нижнюю, представляющую главным образом роговообманковыми гнейсами, и верхнюю, состоящую преимущественно из биотитовых гнейсов. На площади развития нижней свиты выделены массивы протерозойских ортоамфиболитов. Довольно точно охарактеризованы площади распространения протерозойских гранито-гнейсов и мезозойских гранитондов.

В 1952—1953 гг. Е. В. Минеев вел поисково-съемочные работы в м-ба 1:200 000 в северо-западной четверти района. Составленная им геологическая карта очень схематична и не является кондиционной.

В 1953 г. восточная половина площади листа была заснята В. Ф. Зубковым в м-бе 1:1 000 000. Гнейсы, широко развитые там, он отнес к архею без какого-либо расчленения.

В 1959—1960 гг. С. П. Нестеренко, В. А. Фадеев и др. была произведена геологическая съемка в м-ба 1:200 000 на всей площади листа, кроме юго-западной части, заснятой ранее В. А. Левченко. Эти работы легли в основу расматриваемой карты.

В 1959 г. О. Н. Подопляевым (Махнин, 1960) в результате маршрутных исследований выделено поле слюдяноносных пегматитов.

В 1960 г. на территории соседних с юго-запада и юга листов получены материалы, имеющие прямое отношение к листу N-52-VIII. В частности, Ю. П. Скатынским на площади листа N-52-XIII нижепротерозойский гнейсовый комплекс был расчленен на пять согласно залегающих свит, впоследствии объединенных в илканскую серию. Как выяснилось позже, две из этих свит развиты на листе N-52-VIII. В. С. Федоровским и Э. А. Молоцовским на территории листа N-52-XIV доказано, что значительная часть пород, снятая на территории листа N-52-XIV доказано, что значительная часть пород, выделенных В. А. Левченко в нижней свиту архейских парagneйсов, является метаморфизованными габброидами раннепротерозойского возраста.

В 1961 г. на территории расматриваемого листа В. А. Фадеев и С. П. Нестеренко были проведены редакционно-увязочные работы, касавшиеся главным образом площади, ранее заснятой В. А. Левченко. В результате

этих работ амфиболовые гнейсы нижней свиты, считавшиеся В. А. Левченко стратифицированными образованиями, отнесены к ортопородам. С этой же точки зрения пересмотрен гнейсовый аналогичных пород на остальной территории листа. Гранито-гнейсы, выделенные В. А. Левченко, расматриваются авторами как ультраметаллические образования и сравняются с древнеаномальными гранитоидами. Показанные на ее карте покровы кварцевых порфиров в действительности представляют собой алякские части близповерхностных интрузий лейкократовых гранитов, среди которых существенная роль принадлежит гранит-порфирам. Последние наряду с кварцевыми порфирами образуют обширные поля даек, также ошибочно принятые В. А. Левченко за покровы. Преимущественно биотитовые, иногда гранатогнейсовые гнейсы, развитые в юго-западной части площади, заснятой В. А. Левченко, сопоставлены с породами илканской серии. Гнейсы, расчлененные авторами на ряд толщ в 1959—1960 гг., исходя из особенностей разреза, петрографического состава и анализа региональных структур, объединены в самостоятельную брянтинскую серию.

В том же году на территории листа сотрудник ДВГИ ДВФСО АН СССР С. А. Шека проводил работы по изучению метаморфизма базитов и ультрабазитов. В верхнем течении р. Брянты им обнаружено проявление никеля. В 1962 г. поисковые работы на никель проводила Брянтинская партия ДВГУ (В. А. Кулинов, М. В. Храмов).

При составлении геологической карты листа были учтены работы Л. И. Красного и других по составлению геологической карты листа N-52 в м-бе 1:1 000 000, изданной в 1960 г., а также материалы Б. А. Микшиной, работавшей в 1961 г. на территории листа N-52-III.

Кроме наземных исследований были использованы аэрофото- и аэрогеофизические материалы. В 1948 г. территория листа была покрыта аэрофото-съемкой в м-бе 1:60 000, а в 1953 г. южная половина ее — в м-бе 1:25 000. Из-за слабой расчлененности и сильной затененности района дешифрируемость снимков плохая. Хорошо дешифрируются лишь разломы и геоморфологические элементы.

В 1958 г. Верхне-Амурской партией Забайкальской экспедиции Западного геофизического треста произведена аэромагнитная съемка в м-бе 1:500 000. В 1959 г. партией № 16 Северной экспедиции (Г. Г. Ивьятов и В. В. Фиженко) на территории листа проведена магнитометрическая и радиометрическая аэропоисковая работа в м-бе 1:25 000. Карты, составленные по данным этих работ, использованы при геологическом картировании в незначительной степени, так как изолинии на этих картах, как правило, резко не совпадают с простиранием гнейсов, всецело подчиняясь пологим и сложным магнитным аномалиям крупным раннепалеозойским гранитным интрузиям и создавая ложные структуры. Отчетливо фиксируются лишь относительно большие по интенсивности (до 3000γ), но незначительные по площади магнитные аномалии, обусловленные обычно магнетитосодержащими метаморфизованными габброидами. Радиоктивные аномалии (до 13 мкР/час) в большинстве случаев прурочены к массивам раннепалеозойских лейкократовых гранитов. Как показали наземные проверочные работы на некоторых из этих аномалий, практического значения они не имеют.

## СТРАТИГРАФИЯ

Расматриваемая территория входит в зону протерозойского складчатого образования Алданского шита — так называемую зону Становика — Джурджура. Из стратифицирующихся образований наиболее широко распространены глубоко метаморфизованные нижепротерозойские породы гнейсового комплекса, интенсивно нигматизированные и гранитизированные. Незначительно развиты нижнепалеозойские эффузивы и песчано-галечниковые неоген-нижнечетвертичные отложения. Четвертичные породы представлены маломощными элювиально-делювиальными образованиями водораздельных странств и аллювиальными отложениями в долинах рек и ручьев.

## НИЖНИИ ПРОТЕРОЗОИ

Нижнепротерозойские стратифицирующиеся образования занимают около 40% площади листа. В этих древнейших породах района репониально проявляются процессы минерализации и гранитизации, в результате которых они почти везде превращены в мигматиты, а местами даже в гранитоиды анатектного типа. Субстрат мигматитов представлен преимущественно роговообманковыми, биотит-роговообманковыми и роговообманково-биотитовыми гнейсами, в меньшем количестве присутствуют биотитовые, гранитовые гнейсы, амфиболиты и кварциты. Эти породы часто перемежаются в разрезе в виде полог с резкими или постепенными переходами, что создает своеобразную пестроту состава, очень характерную для древнейших пород района. Отсутствие четких маркирующих горизонтов, широкое развитие процессов минерализации и гранитизации, часто ступенчатые особенности тех или иных пород и толщ, а также чрезвычайно пологая обнаженность района — все это очень затрудняет составление стратиграфического разреза. Подвешенная часть пород отнесена к брянтинской серии, очень незначительная — к илганской.

### Илганская серия

На территории листа илганская серия представлена двумя свитами: Уахинской (нижежашен) и Джаянской. Эти свиты известны на очень небольшой площади в крайней юго-западной части района. На юге они непосредственно контактируют с одноименными свитами, выделенными на территории листов N-51-XIII и N-51-XIV Ю. П. Скатынским и В. С. Федоровскими. Из-за слабой обнаженности разрезы их не составлены.

### Уахинская свита (Pt<sub>1n</sub>)

Состоит свита из биотитовых, гранат-биотитовых, роговообманковых и гранат-двуслюдных гнейсов. В большинстве случаев это мелко- и среднезернистые породы светло-серого или серого цвета, имеющие гранобластную, линдгранаобразную или порфиробластную структуру и тонкополосчатую, иногда станиевую текстуру. Конечно, или неравновесно-полосчатую, иногда станиевую текстуру. Качественные соотношения минералов в породах очень разнообразны, но существенную роль среди них почти всегда играет плагиоклаз (до 70%), состав которого колеблется от альбита до андезита. В подчиненном количестве присутствуют кварц (до 30%) и тот или иной темноватый минерал (до 20%) — биотит, обыкновенная роговая обманка, гранат или мусковит. Акцессорные минералы представлены сфеном, магнетитом, апатитом, реже цирконом, вторичные образования — серпичитом, сосорицитом, эпидотом, хлоритом.

Характерной особенностью этой свиты, кроме существенно плагиоклазового состава и тонкополосчатой текстуры пород, является присутствие в ней редких маломощных прослоев и линз так называемых «ржавых» биотитовых гнейсов. Кварц в них, как правило, преобладает над плагиоклазом, биотит имеет красновато-оранжевый цвет и плеохроирует в желтоватых тонах, а зерна циркона отпадаются хорошей окатанностью. Их ржавый или красно-бурый цвет объясняется обилием в породе тонких трещинок, выполненных гидроокислами железа, образовавшимися, очевидно, вследствие окисления рудных минералов. Иногда в гнейсах в небольшом количестве (до 5%) встречается гранат. Он слегает изометричные и неправильные порфиробласты размером до 1—1,5 см в поперечнике. Цвет его красный. Нередко гранат изобилует пойкилитовыми вросками биотита и кварца, часто (в зонах минерализации) замещается биотитом и серпичитом.

В двуслюдных гнейсах мусковит присутствует в количестве до 10%. Иногда он вторичный, чаще же взаимоотношения между ним и биотитом неясны.

Амфиболиты в составе свиты образуют редкие прослои и линзы мощностью до нескольких метров. Кроме обыкновенной роговой обманки (60—80%) и плагиоклаза (25—40%) в незначительном количестве в них содержится кварц и акцессорные минералы, обычные для гнейсов.

Мощность свиты в пределах площади листа не превышает 1100—1200 м.

### Джаянская свита (Pt<sub>2n</sub>)

Занимает свита площадь не более 2 км<sup>2</sup>. Она представлена биотитовыми, роговообманковыми, реже биотит-роговообманковыми гнейсами. Отличительными особенностями пород этой свиты являются их преимущественно среднезернистая структура, тонкое (до микрокопического) переслаивание, однообразный серый цвет, присутствие почти во всех разновидностях гнейсов в перемешанных количествах как биотита, так и роговой обманки, отсутствие граната. Во всех остальных отношениях они не отличаются от пород уахинской свиты.

Мощность свиты 600 м.

### Брянтинская серия

Основанием для выделения брянтинской серии в самостоятельную стратиграфическую единицу послужили особенности петрографического состава слагающих ее пород, совершенно иной характер ее разреза по сравнению с илганской серией, а также предполагающиеся самостоятельные структурные подложки ее.

Илганская серия, мощность которой 8000—8500 м, представлена преимущественно биотитодержащими гнейсами, в ее составе много высокоглиноземистых пород, присутствуют графитодержащие породы и мраморы, причем свиты, сложенные преимущественно биотитовыми гнейсами, чередуются со свитами, где преобладают роговообманковые гнейсы. В составе же брянтинской свиты, большей частью примерно такую же мощность (более 7000 м), значительный удельный вес роговообманковых пород — однообразных мелкозернистых амфиболитовых гнейсов и амфиболитов, являющихся, возможно, метаморфозованными основными эффузивами, содержание которых в разрезе серии постепенно уменьшается снизу вверх: возможно, что в некоторых случаях вместе с ними в разрезе свит оказались включенными пластовые интрузии основных пород, отделить которые от стратифицирующихся образований в связи с глубоким метаморфизмом их весьма трудно. Глиноземистые, графитодержащие породы и мраморы в брянтинской серии полностью отсутствуют. Особенности брянтинской серии является также то, что к ней приурочены крупные согласные тела габброидов, в то время как в илганской серии габброидные породы слгают сравнительно небольшие, нередко секущие тела, связанные с разломами (Федоровский, 1961).

Взаимоотношения серии на территории листа не могли быть выяснены, так как они везде разделены широкими полами раннепротерозойских метаморфизованных габброидов и гранитоидов. Однако, учитывая согласные залегание интрузив габброидов с породами брянтинской серии и в то же время секущее положение ее по отношению к простиранию пород илганской серии, между ними предполагается структурное несогласие при более высоком стратиграфическом положении брянтинской серии.

Породы брянтинской серии слгают на территории листа крупную сложную построеную синклинали меридионального простирания, шарнир которой погружается на север. По преобладаанию тех или иных разновидностей гнейсов, по их определенным ассоциациям, с учетом стратиграфического положения последних, серия расчленена на три согласных залегающие свиты (снизу): мульмунгскую, утуайскую и гудайскую. Характер мульмунгской свиты определяется реакцией преобладанием в ее составе роговообманковых гнейсов, утуайская свита характеризуется появлением в гнейсах существовавшего

содержания биотита, гудынская свита отличается от углейской наличием гранат-биотитовых гнейсов и кварцитов.

#### Мультмугинская свита (Р<sub>11</sub>М)

Выделена свита в 1959—1960 гг. С. П. Нестеренко. Она сложена роговообманковыми, биотит-роговообманковыми гнейсами и амфиболитами с подчиненными слоями роговообманково-биотитовых и биотитовых гнейсов и сланцев. Эти породы распространены в юго-восточной, центральной и западной частях листа в виде различных по площади разрозненных участков. Нижней границей свиты в районе неизвестно, так как на юге нижние горизонты ее уничтожены раннепротерозойскими гранитоидами. Верхняя граница фиксируется сменой преимущественно роговообманковых гнейсов роговообманково-биотитовыми и биотитовыми гнейсами и сланцами.

Породы мультмугинской свиты в коренных обнажениях можно наблюдать по берегам всех крупных рек района. Однако наиболее показательными и полными являются разрезы по рр. Мультмуге и р. Десс. По рр. Лев. и Прав. Кохани преимущественным распространением пользуются роговообманковые гнейсы. Биотитовые гнейсы образуют в них маломощные (0,5—2,3 м) прослои, приуроченные главным образом к верхней части разреза. Различные породы обычно стелят в разрезе свиты довольно мощные слои. Нередко крупные разрозненные обнажения целиком состоят из одних и тех же пород. Взаимоотношения их между собой в пределах одного обнажения можно видеть сравнительно редко. Так, по р. Брянте в одном из обнажений на расстоянии 250 м наблюдаются постепенный переход роговообманковых гнейсов в биотитовые, а в ряде других обнажений — тонкое (до 2—3 см) переставление этих же пород. По р. Мультмуге в отдельных обнажениях можно видеть роговообманковые гнейсы с прослоями биотит-роговообманковых гнейсов и амфиболитов мощностью до 7—8 м, биотитовые гнейсы с прослоями биотит-роговообманковых гнейсов и амфиболитов мощностью до 5—20 м. Биотитовые сланцы образуют обычно редкие четко выделяющиеся прослои мощностью до 0,2 м.

Скелетный разрез мультмугинской свиты, составленный главным образом по р. Мультмуге с учетом разрезов по другим рекам, в обобщенном виде выглядит следующим образом (снизу):

1. Междоурнинские роговообманковые гнейсы с прослоями и линзами амфиболитов . . . . . 1100—1300 м
2. Переставление мелкозернистых роговообманковых гнейсов с мелко- и среднезернистыми биотит-роговообманковыми гнейсами . . . . . 400—500 "
3. Биотит-роговообманковые и роговообманково-биотитовые гнейсы с прослоями гранатосодержащих биотитовых гнейсов и амфиболитов . . . . . 400—500 "

Таким образом, мощность мультмугинской свиты, очевидно, близка к 2000 м (1900—2300 м).

Принимая характеристику пород мультмугинской свиты в порядке их распространения:

Роговообманковые гнейсы серые, темно-серые, преимущественно мелкозернистые породы с хорошо выраженной темной и параллельно-подолчатой текстурой. Гнейсовидность обусловлена ориентированным расположением зерен роговой обманки, подолчатость — чередованием мелкокраевых и лейкокраевых полог, а также перемежаемость прослоев с различной структурой. Переходы между пологсами как резкие, так и постепенные. Подолчатость гнейсов связана, очевидно, с первичной неоднородностью слоистых пород и усилена последующими процессами метаморфической дифференциации. Часто она подчеркивается многочисленными постоянными жилками гранита или пегматита. В зонах расщепления и катактаза гнейсы приобретают

сдвигавшую текстуру и зеленоватый оттенок за счет хлоритизации роговой обманки.

Под микроскопом роговообманковые гнейсы обнаруживают гранобластовую или нематобластовую, часто гломеробластовую структуру и параллельно-сланцеватую текстуру, реже тонкомиклонитовую структуру и почти массивную текстуру. В состав гнейсов входят обыкновенная роговая обманка (20—60%), плагиоклаз (25—50%), кварц (10—30%). В некоторых разновидностях гнейсов в заметных количествах присутствует мелкая вкрапленность пирита (особенно по р. Десс). Иногда (бассейн р. Прав. Кохани) гнейсы содержат гранат в виде зерен округлой формы размером до 0,6 см в диаметре, а также в виде агрегатов более мелких зерен. Довольно часто на поверхности сланцеватости отмечается мелкошелушичатый биотит. Акцессорными минералами являются сфен, апатит, рудный циркон; вторичные образования — альбит, калиевый полевой шпат, хлорит, эпидот, полизит, биотит, мусковит, соссорит, пегит, скансилит, карбонаты. Количество вторичных минералов колеблется в широких пределах, в значительно изменчивых отношениях гнейсов содержится некоторых из них (хлорита, калиевого полевого шпата или эпидота) превышает 10%.

Роговая обманка образует удлиненные, реже изометричные зерна, палеохропроще в бледных тонах от желтовато-зеленого до синевато-зеленого цвета. Преобладают зерна, корродированные кварцем и полевым шпатом, часто хлоритизированные. Некоторые зерна переполнены включенными кварца, эпидота, апатита, сфена и рудного минерала.

Плагиоклазы, представляющие олигоклазы или кислым андезитом, присутствуют в виде ксеноморфных изометричных зерен, обычно в значительной степени изменены — альбитизированы, серицитизированы, соссоритизированы и легитизированы. Довольно редко по олигоклазу развивается скансилит. Полисинтетические двойники (всегда очень тонкие) видны редко.

Формы и размеры зерен волнисто-прозрачного кварца самые разнообразны: это или изометричные зерна округлой формы с волнистым погасанием, или мелкие пойкилитовые выросты в роговой обманке и плагиоклазе, или неправильные, вытянутые в одном направлении зерна с зубчатыми краями, образующие линзовидные агрегаты размером до 2—3 мм в длину, с мозаичным погасанием.

Калиевый полевой шпат редок. Он образует (до 2—3 мм в поперечнике) изометрические порфиробласты с пятнистым погасанием.

Биотит представлен в виде волокон и чешуек буровато-зеленого цвета, почти непрозрачных; изогнутые чешуйки по краям превращены в бледно-зеленый хлорит. Местами он замещает роговую обманку.

Минералы эпидот-полизитовой группы развиты по плагиоклазу, главным образом в виде тонкозернистого агрегата, реже присутствуют в виде сравнительно крупных (до 2 мм в длину) одиночных зерен как в плагиоклазе, так и в роговой обманке. Сфен составляет ромбические клиновидные кристаллы, реже — неправильные зерна размером до 0,1—0,5 мм в длину; иногда он образует цепочки и скопления линзовидной формы длиной до 1—2 мм. Некоторые кристаллы полисинтетически двойникованы. Апатит представлен редкими тонкими игольчатыми длиной до 0,1 мм, реже — широкими овальными зернами до 0,2 мм в длину. Циркон присутствует в виде редких одиночных боенковидных зерен.

Биотит-роговообманковые гнейсы отличаются от роговообманковых более светлой окраской, во многих случаях — лепидобластовой и порфиробластовой структурой с микрогранобластовой структурой основной массы. Биотит, содержащийся в количестве 10—20%, представляет главным образом идиоморфными по отношению к роговой обманке чешуйками соломенно-желтого цвета. Наряду с ними встречаются более крупные чешуйки зеленовато-бурого цвета. Часто биотит не обнаруживает спайности, ожелезнен, непрозрачен. Кроме акцессориев, обычных для роговообманковых гнейсов, отмечены монацит и рутит.

Амфиболиты представляют собой черные блестящие, серовато-зеленые, темно-зеленые, мелкозернистые, реже средне- и крупнозернистые породы,

состоящие на 40—80% из обыкновенной зегеной роговой обманки и на 20—60% — из плагиоклаза. Роговая обманка имеет густо-зеленый цвет и слегка удлиненные зерна, иногда имеющие заостренные окончания. В измененных разновидностях она образует волокнистые агрегаты неправильной формы, нередко почти полностью хлоритизирована с выделением эпидота и рудного минерала. Плагиоклаз, относящийся к андезину (до 34% *Ап*), образует гитлиндоморфные и неправильные зерна с четко выраженным двойниковым строением, слабо серпигитизирован и пелитизирован. Из акцессорных минералов особенно много сфена (до 2—3%), образующего довольно крупные (до 0,5 *мм*) гитлиндоморфные зерна.

Биотитовые и роговообманково-биотитовые гнейсы — породы светло-зеленого цвета, тонкопелитчатой или линейно-параллельной текстуры, ленидогранобластовой и порфиробластовой структуры — состоят из плагиоклаза (50—60%), кварца (до 25%), биотита (5—15%). Кроме того, в них присутствуют, иногда в значительных количествах, роговая обманка, часто биотитизированная (до 10%), эпидот и микроклин. Плагиоклаз представлен олигоклазом. Обычно ксеноморфные зерна, реже встречаются гитлиндоморфные. Последние образуют порфиробласты размером до 2—3 *см* в длину, овальной или прямоугольной формы, ориентированные параллельно плоскости гнейса. Кварц образует изометричные ксеноморфные зерна, равномерно распределенные в породе. Биотит присутствует в виде тонких илиморфных пластинок светло-зеленого или бурого цвета, часто ожелезненных, корродированных, иногда слабо хлоритизированных и мусковитизированных. В акцессорных количествах находят циркон и апатит.

Биотитовые сланцы представляют собой обычно почти мономинеральные черные породы сланцеватой текстуры, состоящие из биотита и небольшого количества кварца.

В отличие от роговообманковых в преимущественно биотитовых гнейсах значительно ярче выражены пролессы шегольного и кварцевого метасоматоза: альбитизация, калишпатазация, биотитизация, окварцевание.

#### Утугайская свита (*P<sub>1</sub>U*)

Выделена свита С. П. Нестеренко в 1959—1960 гг. Она состоит из биотит-роговообманковых, биотитовых и роговообманковых гнейсов с подлинными слоями и пачками амфиболитов, эпидот-роговообманковых и магнезит-роговообманковых гнейсов. Характерной особенностью этой свиты является чрезвычайно тонкое переслаивание пород различного состава. Мощность чередующихся слоев, обычно биотитово-роговообманковых, роговообманково-биотитовых, роговообманковых гнейсов и амфиболитов в большинстве случаев колеблется в пределах первых метров, нередко уменьшаясь до 0,50—0,10 м. Между слоями, так же как и в мультиминеральной свите, наряду с резкими контактами наблюдаются постепенные переходы от биотитовых до роговообманковых гнейсов и даже до амфиболитов.

В естественных коренных обнажениях породы утугайской свиты наблюдались по рр. Утугаю, Брянке, Олдопте, Дессе и Мульмуге. В восточной половине территории листа она пересечена вкрест проспирания тремя линиями канав, пройденных через интервалы 0,3—0,5 км.

Суммируя наблюдения по береговому обнажению и канавам, обобщенный схематический разрез свиты можно представить в следующем виде (снизу):

1. Переслаивание роговообманково-биотитовых гнейсов с биотитовыми. Прослойки роговообманковых гнейсов, линзы амфиболитов. . . . . 300—350 м
2. Биотитовые гнейсы с прослойками роговообманковых и роговообманково-биотитовых гнейсов. . . . . 400—450 "
3. Переслаивание биотитовых, роговообманково-биотитовых гнейсов, прослойки биотит-роговообманковых гнейсов. . . . . 150—200 "

4. Биотит-роговообманковые и роговообманковые гнейсы с прослойками биотитовых гнейсов и амфиболитов. . . . . 200—250 м
5. Переслаивание биотит-роговообманковых гнейсов с биотитовыми; пачки амфиболитов. . . . . 150—200 "
6. Роговообманково-биотитовые гнейсы с подлинными слоями биотитовых, эпидот- и магнезит-роговообманковых гнейсов; линзы амфиболитов. . . . . 550—600 "
7. Биотитовые гнейсы с редкими прослойками роговообманковых гнейсов и амфиболитов. . . . . 350—400 "
8. Переслаивание биотитовых и роговообманково-эпидот-биотитовых гнейсов, прослойки амфиболитов. . . . . 300—350 "

Мощность свиты 2400—2800 м.

Породы, слагающие утугайскую свиту, существенно не отличаются от соответствующих пород мультиминеральной свиты. В биотитовых гнейсах утугайской свиты не обнаружен каменный уголь и шпат. Биотит-роговообманковые гнейсы отличаются от ранее описанных отсутствием среди акцессорных минералов апатита и наличием рутила и дистена. Амфиболиты в отличие от амфиболитов мультиминеральной свиты участками обнаруживают сиговидную структуру, в некоторых разновидностях их присутствует гранат в виде скопленных мелких (до 0,3 *мм* в поперечнике) зерен. Роговообманковые гнейсы отличаются от вышеописанных присутствием каменного полевого шпата в количестве от единичных зерен до 40%, а также наличием в качестве акцессорного минерала рутила.

Эпидот-роговообманковые гнейсы, кроме повышенного содержания (до 5—8%) крупных (до 1—2 *мм* в длину) зерен эпидота удлиненных столбчатых формы, ничем не отличаются от роговообманковых гнейсов.

Магнезит-роговообманковые гнейсы в виде прослоев мощностью до 3—4 м были встречены среди пород утугайской свиты лишь в северо-западной части листа. Содержание магнетита в них самое разнообразное — чаще незначительное и лишь иногда достигает 40%. Распределен магнетит по всей массе породы обычно равномерно. Он присутствует во всех минералах в виде различных по величине зерен — от пылевидных до 0,6 *мм* в поперечнике, что может говорить о его метасоматическом происхождении. В сочетании с этим пружороченность проявлений магнетита к одному участку площади. К северо-западной части листа, наводит на мысль о возможной связи концентрации железа с явлениями базификации. Предполагается, что вынос железа происходил из пород нижележащей мультиминеральной свиты или габброидов, интенсивно гранитизированных в юго-западной части площади листа.

#### Гудынская свита (*P<sub>1</sub>Gd*)

Выделена свита в 1959—1960 гг. С. П. Нестеренко. Эта свита распространена в северо-восточной части листа на площади около 200 *км<sup>2</sup>*. Она согласно залегает на утугайской свите, слагая ядро синклинали. От утугайской свиты она отличается тем, что в ее составе присутствуют своеобразные гранат-биотитовые гнейсы и кварциты. Последние вместе с роговообманковыми гнейсами и амфиболитами находятся в резко подлинном количестве. Коренные обнажения пород гудынской свиты по р. Утугаю разрознены, поэтому даже схематический разрез ее составить невозможно. Разрез свиты составлен в 1961 г. Б. А. Михайловым на территории листа N-52-11.

По р. Утугаю обнажаются лишь низы свиты, представляющие почти исключительно биотитовыми и гранат-биотитовыми гнейсами с очень незначительным количеством биотит-роговообманковых. Кварциты зафиксированы главным образом в северной части района и тяготеют к ядру синклинали. Они приурочены, очевидно, к верхней части разреза свиты и обнажены только в левом борту р. Утугай, у устья р. Гуды. Там кварциты имеют мощность не менее 10 м, содержат тонкие (до 0,5—2 *см*) прослойки биотитовых сланцев, реже — более мощные (до 0,5 м) прослойки биотит-роговообманковых гнейсов. Мощность свиты не менее 2000 м.



размером от 0,5 до 20 см в диаметре. Единичны также находки туфогенных песчинок.

К нижнему между описанные вулканогенные образования отнесены на основании сходства их с эффузивными и пирокластическими породами близлежащих районов. Этот возраст средних эффузивов в регионе определен довольно точно. Так, на территории листа N-52-ХХ вулканогенные образования подобны описанным, несогласно залегают на флюористически охарактеризованных верхнеюрско-нижнееловых осадочных отложениях (Раскасов, 1959). По данным А. И. Самусина (1961), в аллювиатах содержатся терризоиды эффузивов, на территории листа N-51-ХVII обнаружена в толще средних эффузивов, на территории средних горизонтов нижнего фаяла пегматитов характерна для нижних и средних горизонтов пегматитов. На территории листа N-52-1 (Кап, 1963) порфириты залегают на песчанках с флорой неокома. На территории же листа N-52-ХIV такие же вулканогенные породы находятся в гальке конгломератов нижнеелового возраста (Нагибина, 1960).

### Плювиальные-нижнееловые отложения нерасчлененные

Соктаджанская свита

Верхняя подсвита (N<sub>2</sub>-Q<sub>1sk2</sub>)

В южной части площади листа на отдельных возвышенностях развиты желтовато-серые пески с небольшой примесью (до 10%) гальки и иногда суглинка. Пески разнозернистые: около 70% объема составляют зерна размером от 0,5 до 3-4 мм в диаметре, 25-30% 0,5 мм и 3-5% — меньше 0,25 мм. Резко преобладают угловатые, неокатанные зерна. Пески состоят из кварца (до 90%), каолинизированного полевого шпата (до 10%), единичных зерен пирокла, сфена, рутила, ильменита, магнетита и граната. Галька очень хорошо окатанная, диаметром до 2-3 см. В составе ее преобладают кварц и граниты. Эти отложения представляют собой, очевидно, древние аллювиально-пролювиальные образования. Мощность их, судя по разности абсолютных отметок подошвы и кровли, не превышает 50 м.

Описанные песчаные отложения даже к югу непосредственно переходят в отложения верхнеоктаджанской подсвиты, широко развитой в пределах Верхнеэльской депрессии. Наличие в споро-пыльцевом комплексе этих отложений таких форм как *Tsuga*, *Pinus* п/р *Driopteris*, *Mutisia*, *Saprinus*, *Lelsova*, *Liquidambar*, *Nex* позволило М. Зиве (ДВГУ) предположительно считать их неоген-нижнееловыми (Федоровский, 1961).

### ЧЕТВЕРТИЧНАЯ СИСТЕМА

#### Средне-верхнееловые отложения нерасчлененные (QII-III)

К средне- и верхнееловым отложениям условно отнесен аллювий надпойменных террас, широко распространенных в долинах крупных рек. Наиболее широко развиты I надпойменная терраса, II и III встречаются гораздо реже, в виде отдельных уцелевших от размыта обрывков.

Первая надпойменная терраса высотой 3-6 м сложена песчаным и песчано-галечниковым материалом, иногда с тонкими линзовидными прослойками суглинка и углистого вещества. Ниже приводится разрез этой террасы по р. Десс:

- |   |           |
|---|-----------|
| 1. Песчанистый почвенно-растительный слой   | 0,2 м     |
| 2. Желтовато-серый мелкозернистый полимиктовый песок  | 0,2-0,6 " |
| 3. Тонкое (через 2-3 см) переслаивание желтовато-серого песка с темно-коричневым глинистым песком | 0,6-1,7 " |
| 4. Галечник. Размер галек колеблется от 2 до 5, редко до 10 см в диаметре                         | 1,7-2,2 " |

14

Несколько иной разрез первой надпойменной террасы по р. Брянте:

- |  |         |
|--|---------|
| 1. Почвенно-растительный слой  | 0-0,2 м |
| 2. Желтовато-серый мелкозернистый полимиктовый песок с прослойками (через 15-20 см) глинистого песка | 0-0,2 м |
- В составе аллювиальных отложений II надпойменной террасы высотой 8-10 м значительную роль играет галечниковый материал. Ниже приведен разрез надпойменной террасы р. Ултай:

- |  |         |
|--|---------|
| 1. Буравато-коричневый песчанистый суглинок                      | 0-0,2 м |
| 2. Буравато-желтый мелкозернистый полимиктовый песок             | 0,2-5 " |
| 3. Галечник с примесью полимиктового песка. Размер гальки 3-5 см | 3-5 "   |

По р. П. Коханы в устье этой террасы обнажаются:

- |   |       |
|---|-------|
| 1. Почвенно-растительный слой, представленный древесинистым суглинком коричневого цвета   | 0,1 м |
| 2. Полимиктовый мелкозернистый песок ржаво-желтого цвета со значительным содержанием гальки. Количество гальки вина по разрезу увеличивается от 5-7 до 40%, а размеры ее от 1 до 10 см в диаметре | 1-5 " |

Третья надпойменная терраса высотой до 45 м в большинстве случаев эрозионная, отложения на ее поверхности сохранились лишь по р. Олдонде. Разрез ее следующий:

- |  |          |
|--|----------|
| 1. Почвенно-растительный слой  | 0-0,25 м |
| 2. Коричневатый полимиктовый разнозернистый песок с галькой до 2-5 см в диаметре, составляющий 15-20% объема отложений | 0,25-5 " |
| 3. Коренные породы   | 5-20 "   |

Для определения возраста отложений надпойменных террас из них был отобран ряд проб на палинологический анализ. Однако споры и пыльца в достаточном для определения количестве в них не обнаружены. Поэтому приняты во внимание материалы, полученные на территории смежного листа N-52-ХIV, где в аллювии таких же по высоте террас И. В. Крот (ДВГУ) установлен комплекс спор и пыльцы, характерный для средне- и верхнееловых отложений комплекса *Sphagnum* sp., *Polypodiaceae*, *Licoroditum* sp., *Ricea* sp., *Pinus* п/р *Nariox*, *Salix* sp., *Betula* sp., *Alnus* sp., *Corylus* sp., *Saprinus* sp., *Quercus* sp., *Ulmus* sp., *Ericaceae*, *Cheporodiaceae*, *Ranunculaceae*, *Fedorovskii*, 1961).

#### Современные отложения (QIV)

Пойменный аллювий представлен песчаным, песчано-суглинистым, песчано-галечниковым и валуново-галечниковым материалом. Соотношения между этими фациальными разновидностями отложений различны, в целом же песчано-галечниковый материал преобладает. Ниже приведен разрез высокой пойменной террасы р. Ултай:

- |   |           |
|---|-----------|
| 1. Почвенно-растительный слой   | 0-0,2 м   |
| 2. Серый тонкозернистый илестый песок с редкой галькой диаметром от 1 до 5-10 см  | 0,2-0,6 " |
| 3. Галечник с небольшой примесью желтовато-серого разнозернистого песка; размер галек колеблется от 0,5 до 10 см в диаметре | 1,6-2 "   |
| 4. Мелкая галька с редкими валунами. Размеры галек 1-3 см, валунов 15-20 см в диаметре                                      | 1,6-2 "   |
- Условный аллювий состоит из песчано-галечниковых, валуново-галечниковых, реже песчано-глинистых отложений. Песчано-галечниковый материал

15

образует многочисленные отдели и косы по крупным рекам района. Гальки и валуны имеют самые разнообразные размеры, различную степень окатанности, подлинковый состав. В тех местах, где крупные реки прорезают массивы раннемоловых гранитоидов, русла их часто зароможжены крупными валунами местных пород, образующими многочисленные перекаты. Русловый аллювий ручьев, размывавших породы пнейского комплекса, состоит из слабо окатанной гальки или щебенки, содержащей незначительную примесь песка. В ручьях, текущих по заболоченным местам, он имеет преимущественно песчаный или песчано-иллистый состав.

Элювиальные образования представлены обломками и глыбами местных коренных пород различного размера, сцементированными сульфидным материалом. Делювиальные образования состоят преимущественно из сульфидка, содержащего различное количество обломков и щебенки коренных пород. Склоны возвышенностей, сложенных интрузивными породами, обычно покрыты крупноглыбовым делювием, в то время как на площадях развития метаморфических пород преобладают мелкощебенистые элювиально-делювиальные образования. Мощность их обычно 2—3 м и лишь иногда увеличивается до 5 м. Условно эти отложения отнесены к современным отложениям. Однако возможно, что некоторая часть их имеет и более древний возраст. Это предположение основывается на следующих данных. Во многих горных выработках, вскрывших коренные породы на водоразделах, наблюдались очень постепенные переходы от элювиально-делювиальных образований к коренным породам через кору выветривания, имеющую мощность до 2—4 м. Последняя имеет сходство с корой выветривания, развитой на терриории листа N-52-XIV, где она имеет палеогеновый возраст (Чемеров, 1957).

### ИНТРУЗИВНЫЕ ОБРАЗОВАНИЯ

Из интрузивных образований на территории листа широко развиты раннепротерозойские основные и ультраосновные породы так называемого майско-джаннинского комплекса, претерпевшие, как и параплекс, интенсивный ультраметаморфизм. Значительным распространением пользуются раннепротерозойские преимущественно ультрабазальные гранитоиды, сопоставимые с породами древнего нового комплекса. Подчиненную роль по сравнению с раннепротерозойскими образованиями играют раннемоловые интрузии гранитоидов, широко распространены связанные с ними разнообразные жильные породы.

### РАННЕПРОТЕРОЗОЙСКИЕ ИНТРУЗИИ

Формирование пород майско-джаннинского комплекса происходило в две фазы. С первой фазой связаны крупные интрузии габброидов; со второй — сравнительно мелкие тела ультраосновных и основных пород.

### Габбро-амфиболиты, амфиболиты, габбро, габбро-нориты (vP1)

Перечисленные породы слатают два крупных тела, участвовавшие вместе с параплексами в раннепротерозойской складчатости. Они образуют, очевидно, сплошные, плитообразные залежи, протяженность которых во много раз превышает их ширину. Одна из них (центральная) приурочена к нижней части утуйайской свиты, кроме того, она образует небольшие пластовые апофизы во вмещающих ее породах. Второе тело выдвинулось между породами брянтинской и нликанской серий. Так как породы интрузий в настоящее время представлены главным образом амфиболитами, очень сходными с парапородами, установление их генезиса связано с большими трудностями.

Взаимоотношения пород, участвующих в строении выделенных массивов, изучались главным образом по р. Бранте в ее нижнем течении. В многочисленных береговых обнажениях можно видеть метаморфозовые массивы габбро, постепенно переходящие в мигматизированных амфиболиты и амфиболиты и амфиболиты, в мигматизированных амфиболитах, содержащих

реликты всевозможных форм немигматизированных метаноритовых габбро-амфиболитов, можно видеть переходы к разностям, наиболее насыщенным жильным материалом и в результате этого биотитизированным и сходным с биотит-роговообманковыми гнейсами; можно видеть также постепенную смену последних по мере усиления транзитации биотитовыми гнейсами и породами гранитного состава. В местах наиболее интенсивного развития мигматизации массивная текстура габбро обычно сменяется сталеватой. Эти наблюдения позволяют предположить: габбро, габбро-амфиболиты, амфиболиты, роговообманковые, биотитовые гнейсы и граниты, как правило, связанные между собой постепенными переходами, не являясь самостоятельными в геологическом отношении геологическими телами, а представляют собой в различной степени метаморфизованные основные породы типа габбро; преобразование габбро вызвано главным образом процессами мигматизации и транзитации, наиболее сильные проявления которых приурочены к древним зонам рассланцевания субстрата. Оптические исследования пород подтвердили это предположение.

Габбро, габбро-нориты, габбро-амфиболиты, приуроченные главным образом к северо-западной части листа, в других частях массива встречаются довольно редко, обычно амфиболитизированы, состоят главным образом из плагиоклаза (30—70%), моноклинового, иногда ромбического пироксена (до 20—40%), вторичной роговой обманки (от 3 до 50%). У северной рамки площади листа иногда заметную роль в составе базитов играет оливин. Местами он преобладает среди темновесных минералов и породы приближаются к фроктолитам. Акцессорные минералы: фен (до 1,5%), магнетит, апатит, пирит; вторичные, кроме роговой обманки, полизит, эпидот, мангнетит (до 2—3%), фен, кварц, калиевый полевой шпат, биотит, хлорит, серпент. Структуры их меняются в зависимости от степени метаморфизма от габбровой и базитогаббровой до неметаноритовых (порфириобазитовой или гетеробазитовой). Текстуры преимущественно линейные, реже массивные. Плагноклазы образуют таблитчатые зерна размером до 3 мм, представляющие лабродором (52—69% An), реже, в наиболее метаморфизованных участках слатают корродированные зерна неправильной формы, по составу соответствующие андизину (35—46% An), часто катаклазированные. Пироксен, представляющие крупными (до 2—3 мм), большей частью идиоморфными зернами обычно в той или иной степени замещены буровато-зеленой или (в раннеинтрузивных разностях) голубовато-зеленой роговой обманкой с выделением магнетита или фена. Изредка по пироксенам развивается биотит, который в свою очередь хлоритизирован. Округлые зерна оливины размером до 0,4—3 мм часто почти полностью замещены тонковолокнистым хризотилом, реже — хлоритом с выделением рудного минерала.

Амфиболиты и роговообманковые гнейсы макроскопически нередко похожи на амфиболитизированные габбро, но в шлифах между ними видны довольно существенные различия. Пироксен (моноклиновый) встречается редко в виде значительных реликтов и составляет не более 1% объема породы. Существенную роль играет вторичная синезеленая роговая обманка (до 70%), часто замещенная биотитом. Плагноклазы, присутствующие в количестве 15—45%, обычно корродированы и раскислены до альбит-олигоклаза. Содержание других вторичных минералов возрастает: кварца до 5—8%, эпидота до 2%, калиевого полевой шпата до 10%; появляется гранат. Акцессорные минералы составляют те же. Резко преобладают разнообразные структуры и текстуры, типичные для метаморфических пород, среди которых особенно характерна неметаноритовая зубчатая структура. Габбровая структура и массивная текстура почти не встречаются.

Наличие в этих породах реликтов пироксена, основного плагиоклаза и габбровых структур, а также постепенные переходы их к габбро-амфиболитам свидетельствуют о том, что они могли образоваться по габбро в результате воздействия на последние процессов метаморфизма различных типов: автометаморфизма, регионального (в том числе ультраметаморфизма), дислокационного, наложенных друг на друга и поэтому не поддающихся четкому разделению. Вследствие метаморфизма, предшествовавшего ультраметаморфизму, ве-

рожно, произошло замещение пироксенов зеленой и буровато-зеленой роговой обманкой, некоторое раскисление плагиоклазов, изменение габбровых структур до разнообразных кристаллобластных, массивных текстур до линейных — т. е. образование амфиболитов по габбро. В период ультраметаморфизма в мобильных участках происходит межгранулярное протипывание субстрата привнесенным материалом и дальнейшее его изменение — замещение зеленой роговой обманки голубовато-зеленой, развитие вторичного биотита и хлорита по роговой обманке, эпидота и цонзита как по цветным минералам, так и по плагиоклазам, раскисление основных плагиоклазов до олигоклаза и альбита, обогащение пород кварцем. В результате этих процессов амфиболиты превратились в роговообманковые и биотит-роговообманковые гнейсы, сходные с параспорадами. В древнейших тектонических зонах, где наиболее интенсивно протекали процессы метаматизации и метасоматоза, произошло почти полное минеральное и структурное преобразование амфиболитов пород, превращенных в биотитовые гнейсы и лейкократовые граниты, аналогичные гранитоидам древнестанового комплекса.

Биотитовые гнейсы и граниты, являющиеся, по-видимому, конечными членами в ряду метаморфизованных габброидов, характеризуются почти полным исчезновением роговой обманки, уменьшением содержания даже биотита (до 10—15%), место которых занимают альбитизированный плагиоклаз (присутствующий в количестве до 60—70%), каиневый полевой шпат, кварц (до 20—35%), гранат (до 2%). Среди альбитизированного плагиоклаза в отдельных случаях сохранились единичные зерна основного плагиоклаза (до 50% An), иногда выделяющиеся более крупными размерами. Биотит представлен корродированными и хлоритизированными чешуйками размером до 1—2 см в длину. Гранат обычно встречается совместно с биотитом, который на стыке с гранатом содержит включенные минералы эпидот-цонзитовой группы. Некоторые чешуйки биотита изогнуты и как бы обтекают крупные зерна граната, содержащие мелкие, реликтовые чешуйки биотита. Все это свидетельствует о более позднем, по отношению к биотиту, порфиробластическом развитии граната. Для выяснения первичной природы описанных пород некоторые разновидности габбро-амфиболитов и амфиболитов — пород, наименее метаморфизованных и, следовательно, характеризующихся наименее измененным валовым химическим составом, были подвергнуты синкратным анализам. В таблице № 1 приведены результаты этих анализов и их пересчеты по методу А. Н. Заварицкого, причем первые два из них представляют собой анализы заводского интраванного основного пород — габбро-амфиболитов, отобранных из зон расщепления в массиве ультрабазитов между р. Ильдус — Брянта. Они приведены для сравнения их с анализами габбро-амфиболитов и амфиболитов, отобранных в нижнем течении р. Брянта (анализы № 3—7). Анализ № 8 — ортоамфиболита — заимствован из отчета В. А. Левченко.

Как видно из таблицы, характеристика «b» во всех анализах высокого значения (от 18 до 30), за исключением анализа 7, где «b» равно 15,3. Характеристика «к» небольшой величины, в пределах 53—64. Такие значения характеристик «b» и «к» являются, как указывает А. Н. Заварицкий, главной особенностью химического состава габбровых пород. По соотношению  $d/c$  можно судить, что состав плагиоклазов основной (анализы 2 и 5), близок к основному (анализы 1, 6, 8) и средний з ряда анализа, олигоклаз-андезина (анализы 3, 4, 7).

Как показали геохимические анализы 55 проб габбро-амфиболитов и амфиболитов, содержанием никеля и хрома-характерных элементов для магматических пород основного и ультраосновного состава — они почти не отличаются от заводского интраванного пород. Так, если в ультрабазитах массива между р. Ильдус — Брянта никель присутствует в количестве от 0,001 до 0,006 до 0,01%, изредка до 0,03%, а хром — в количестве от 0,001—0,004 до 0,06—0,08%, то в описанных габбро-амфиболитах и амфиболитах содержание никеля колеблется от 0,001 до 0,005, иногда до 0,01%, а хрома от 0,001—0,004 до 0,03—0,05%.

Таким образом, амфиболиты, преобладающие в составе выделенных интраванной, образовались, очевидно, в результате метаморфизма габброидов. Мета-

Таблица 1

Результаты химических анализов габбро-амфиболитов и амфиболитов

Номера проб	SiO <sub>2</sub>	TiO <sub>2</sub>	Al <sub>2</sub> O <sub>3</sub>	FeO	MnO	MgO	CaO	Na <sub>2</sub> O	K <sub>2</sub> O	SO <sub>3</sub>	H <sub>2</sub> O	P <sub>2</sub> O <sub>5</sub>	H <sub>2</sub> O	П.п.п.	Σ	
1	43,93	2,81	17,91	3,73	8,56	0,13	6,32	10,44	3,60	0,55	0,51	0,15		0,53	0,15	99,75
2	52,22	0,23	21,60	0,87	2,77	0,07	6,39	11,18	3,67	0,57	0,15	0,80		0,02	0,19	100,49
3	47,11	1,48	16,33	4,01	7,87	0,14	6,17	8,88	4,08	1,16	0,41	1,68		1,25	0,18	100,57
4	43,83	2,81	16,34	4,96	6,86	0,20	5,24	10,40	3,27	1,91	—	1,20	0,97	1,83	0,16	99,82
5	49,06	0,77	18,03	1,96	6,10	0,10	8,90	9,83	3,14	0,43	0,07	1,27		0,05	0,13	99,71
6	43,55	2,74	17,07	5,94	8,67	0,18	6,64	8,78	3,38	0,61	0,40	0,95		0,66	0,17	100,57
7	50,51	1,75	20,93	3,87	4,66	0,09	2,76	8,16	5,24	0,43	0,30	0,54		0,43	0,06	99,67
8	53,89	0,38	19,15	0,35	7,61	0,08	4,48	8,56	3,77	0,60	0,03	0,09		0,13		99,87

Пересчет по методу А. Н. Заварицкого

№ проб	a	c	b	s	f'	m'	c'	n	φ	t	Q	a/c
1	9	8,1	28	54,9	42,6	40	17,4	92	12,8	4,5	—16,8	1,1
2	9,2	10,4	18,6	61,8	19,8	60,2	20	92	4,5	0,3	—5,3	0,8
3	10,8	5,7	27,2	56,3	41,7	39	19,3	84	12,7	2,4	—15	1,9
4	10,5	6,2	27,8	55,5	41,1	33,6	25,3	72	15,5	4,5	—17,6	1,6
5	7,6	8,3	26,6	57,5	28,7	57,5	13,8	92,7	6,2	1,1	—8,7	0,9
6	8,5	7,5	30,3	53,7	46,3	38	15,7	90	17	4,6	—18	1,1
7	12,8	8,5	15,3	63,4	54,2	32,5	13,3	95	23	2,6	—7,5	1,5
8	9,5	8,5	18,1	63,9	46,7	40,3	13	91	1,5	0,4	0,5	1,1

1 — габбро-амфиболит (обр. 6, канава 23), 2 — габбро-амфиболит (обр. 14, канава 27), 3 — амфиболит со слабо полосчатой текстурой (обр. 4284а, р. Утугай), 4 — расщепленный амфиболит (обр. 4287, р. Утугай), 5 — габбро-амфиболит (обр. 5376а, р. Брянта), 6 — амфиболит (обр. 5377а, р. Брянта), 7 — расщепленный амфиболит (обр. 5385б, р. Брянта), 8 — орто-амфиболит (обр. 2217 из коллекции В. А. Левченко).

морфизм и, особенно ультраметаморфизм, заключающийся в процессах структурно-текстурной перестройки и вторичного минералообразования, протекавшего в следующих направлениях.

Пироксениты

Зеленая и буровато-зеленая роговая обманка → сине-зеленая роговая обманка → биотит

Хлорит ↓  
Габродор → ониктоглаз → альбит

Наряду с указанными минералами возникли кварц, калиевый полевой шпат, эпидиот, цоизит, иногда карбонаты, фен, гранат, магнетит. Эти процессы могли привести к превращению некоторой части габброидов в роговообманковые и биотит-роговообманковые гнейсы, а также в зонах наиболее сильной мигматизации и гранитизации — в биотитовые гнейсы и граниты, сопоставимые с гранитоидами древнеэтанового комплекса. Возможность таких превращений при метаморфизме, в частности, при гранитизации основных пород подтверждена работами многих авторов, примеры их многочисленны в литературе как советской, так и зарубежной.

Раннепротерозойский возраст описанных пород определяется на основании того, что они образуют пласты тела в породах нижнепротерозойского плейстонового комплекса и совместно с ними испытывали ультраметаморфизм, с которым связано образование раннепротерозойских древнеэтановых гранитов.

Эти породы сопоставимы с широко развитыми в зоне Становика — Джугджура метаморфизованными породами основного состава майско-джангинского комплекса, выделенного В. Н. Мошкиным в 1959 г. Учитывая трудности диагностирования этих пород, В. Н. Мошкин допускает возможность того, что в состав комплекса включены кроме интрузивных метаморфизованные эффузивные породы основного состава и даже паратероиды. Это допущение по той же причине остается в силе и для территории рассматриваемого листа.

### Дуниты, перидотиты, пироксениты, габбро (срп?)

Ультраосновные породы образуют сравнительно небольшие массивы, дайковые и жильные тела, приуроченные главным образом к северо-западной части района и пространственно связанные обычно с метаморфизованными габброидами. Наиболее крупный массив этих пород (46 км<sup>2</sup>) находится в междуречье Ильдеуса и Брянты. Он приурочен, очевидно, к тектонически ослабленной зоне в метаморфизованных габброидах, о чем свидетельствует его слабое по отношению к общей структуре положение, вытянутая форма и осложненные тектоническими разрывами контакты. В массиве преобладают дуниты и очень незначительно развиты породы, приближающиеся по составу к габбро. На правобережье р. Утугай (в бассейне р. Утанак) расположен второй по величине массив (10 км<sup>2</sup>), сложенный главным образом пироксенитов-Мелкие (1—2 км<sup>2</sup>) тела метаморфизованных пироксенитов находятся в междуречье Брянты и Утугая. Дайки дунитов и пироксенитов наблюдались в береговых обнажениях рр. Десса и Брянты.

Дуниты наиболее широко развиты в центральной части массива, расположенного в междуречье Ильдеуса и Брянты. Они представляют собой темные, почти черные неравномернотекстурные, порфиробластные или мелкозернистые породы массивной текстуры. Структура их пеллачатая. Зерна оливины часто почти полностью замещены тонковолокнистым хризотилом с выделением рудного минерала и лишь иногда окаймляются им в виде тонких кельфитовых оторочек. Единичные зерна основного плагиоклаза имеют призматическую форму или ксеноморфны. Часто они покрыты густой серью тонких трещин, по которым развивается серпент. Пироксен встречается в количестве 1—3%, образуя кельфитовые каемки и вроски в зернах оливины. Акцессорные минералы представлены хромитом и зеленой шиннелю. Из вторичных образований,

кроме уже отмеченных, присутствуют хлорит, тальк, роговая обманка, сосюрит, эпидиот.

Перидотиты обычно имеют темно-серую окраску, средне- или крупнозернистое сложение, массивную текстуру. Структура их панидиоморфнозернистая, участками пеллачатая или пойкилитовая. Минеральный состав: оливин (12—70%), моноклиновый пироксен (5—25%), ромбический пироксен (0—65%), иногда единичные зерна плагиоклаза. Из акцессорных минералов присутствуют рудный, изредка шиннел. Вторичные минералы: серпентин (до 35%), хлорит (до 50%), актинолит (до 15%), роговая обманка, биотит, тальк (до 5%).

Пироксениты представляют собой среднезернистые, реже мелкозернистые порфиробластные или крупнозернистые породы темно-серого или черного цвета, текстура массивная. Под микроскопом они обнаруживают панидиоморфнозернистую, в сильно метаморфизованных различиях — гранулолитобластную или фибробластную структуру. Кроме моноклинового и ромбического пироксена, соотношения между которыми самые разнообразные, обычно в незначительном количестве присутствуют оливин и плагиоклаз. Породы с повышенным содержанием плагиоклаза приближаются по составу к габбро и габбро-норитам. Акцессорный минерал — рудный, вторичные образования представлены уралитом (до 35%), актинолитом (до 40%), хлоритом, тальком, эпидиотом, цоизитом.

Из-за плохой обнаженности взаимоотношения описанных ультраосновных пород с другими породами, кроме метаморфизованных габброидов, в коренных обнажениях не наблюдались. По р. Десс дайки перидотитов мощностью 15—20 м секут метаморфизованные габброиды, а по р. Брянте Ю. П. Расказовым зафиксирована жила пироксенита мощностью до 1 м, прорывающая меланократовые габбро первой фазы майско-джангинского комплекса. Четкие секущие контакты жилы не оставляют сомнений в более молодом возрасте пироксенитов. Только горными работами получены данные, позволяющие считать о верней возрастной границе ультрабазитов. Канавы, пройденные в массиве ультраосновных пород междуречья Ильдеус — Брянта, вскрыли метасоматические пегматитовые жилы, залегавшие согласно с направлением разнежкования ультрабазитов. Ультрабазиты были жилы гранитизированы. В результате этого процесса они превращены в серпентин-тальк-хлорит-тремонито-актинолитовые породы, а непосредственно у контакта — в лейкократовые габбро и кварцевые дуниты. Гибридный состав пегматитовых жил и характер взаимоотношений с вмещающими породами позволяют связать их с раннепротерозойскими гранитоидами древнеэтанового комплекса, широко развитыми вблизи массива ультрабазитов.

Вместе с ультраосновными породами прорываемых ими метаморфизованных базитов по составу и возрасту, приуроченность к одним и тем же участкам площади, довольно интенсивный метаморфизм тех и других — все это дает возможность говорить о связи их с единым магматическим очагом и о принадлежности к двум фазам раннепротерозойского интрузивного цикла. С другой стороны различное отношение ультрабазитов и габброидов к гранитизации и складчатости, возможность того, что пегматитовые жилы, содержащиеся в ультрабазитах, могут быть связаны не с древнеэтановыми гранитами, а с более молодыми, не позволяет делать это утверждение. С. А. Шека (1963) относит ультрабазиты к верхнему протерозою. Из-за противоречивости приведенных сообщений к нижнему протерозою ультрабазиты отнесены условно.

### Гнейсовые плагиограниты, граниты (<sup>2</sup>Рt) и пегматиты (срп)

Гранитоиды древнеэтанового комплекса, представленные гнейсовидными лейкократовыми плагиогранитами, биотитовыми, биотит-роговообманковыми, пегматитовыми гранитами и пегматитами на территории листа по распространенности занимают первое место среди всех других дочетвертичных геологических образований. Они образуют в древнейших породах района согласные массивы различной величины. Ими же представлен жильный материал мигматитов, чрезвычайно характерных как для парангеев, так и для метаморфизо-

ванных габброидов. Об идентичности в генетическом отношении гранитоидов, слатяных массивов, и жильного материала мигматитов свидетельствует их тесная пространственная связь, повсеместные взаимопереходы, общность минерального состава, структура и текстура.

Эти гранитоиды играют большую роль в геологическом строении всей зоны Становика — Джугджура. Если раннепротерозойский возраст их является общепринятым, то относительно генезиса Мнения геологов расходятся. Впервые древние гранитоиды зоны Становика — Джугджура описал, как известно, Д. С. Коржинский (1935). Он относит их к интрузивным образованиям и назвал «древнестановыми».

Другие исследователи, изучавшие эти породы несколько позже — В. А. Левченко, Л. И. Краснов (1951), вслед за Д. С. Коржинским также считали их интрузивными. Однако в ряде работ уже отмечалась неясность генезиса древних гранитоидов и предполагалось, что определенную роль при их образовании играли процессы гранитизации. В настоящее время образование древнестановых гранитоидов в значительной степени связывается с являющимися ультраметаморфизма (Мошкин, 1962 и др.), хотя некоторые геологи по-прежнему стоят на точке зрения магматогенного происхождения пород.

На территории листа не получены прямые данные, говорящие о магматогенной природе древнестановых гранитоидов, напротив — многие черты их свидетельствуют о том, что это ультраметаморфные образования. Об этом свидетельствуют их взаимоотношения с вмещающими породами, особенности их состава, текстур и структур.

Гранитоиды образуют различные по размерам тела — от пластобразных мощностью в несколько метров, до массивов в сотни квадратных километров, имеющих нечеткие очертания и очень неоднородное строение: структура, текстура и состав пород часто и иногда резко меняются, в них встречаются пакки и отдельные горизонты гнейсов и амфиболитов, полочность которых всегда параллельна гнейсовидности гранитоидов. С вмещающими породами гранитоиды связаны через мигматиты. На территории листа обнаружены все известные морфологические типы мигматитов, из них особенно часто встречаются различные разновидности последних и амфиболитов, часто теневые, значительное количество которых связано с развитием развитые мигматитов, преобладание среди них последних и теневых, широкое развитие анатектитовых гранитов (являющихся также своего рода теневыми мигматитами) свидетельствует о проявлении в районе высоких степеней мигматизации.

Взаимоотношения гранитоидов с вмещающими породами можно наблюдать во многих обнажениях по всем крупным рекам района. Характер контакта между ними самый разнообразный — от едва заметных переходов до резких границ, причем резких контактов, как и секущих, несравненно меньше, чем согласных, с постепенными переходами. Чаще всего можно видеть постепенные переходы на протяжении 2—7 м по падению от вмещающих пород к теневым мигматитам через последние мигматиты, а теневых мигматитов в свою очередь — к почти массивным породам гранитного или пегматитового состава. В периферических частях теневых мигматитов иногда наблюдаются порфирилобластические очковые обособления пологого шпата, образующие цепочки или толосы.

Массивы гранитоидов вблизи границы с мигматитами часто содержат реликты вмещающих пород различной величины и формы. Обычно это линзовидные или пластобразные тела мощностью до 0,5—3 м, залегающие согласно с мигматитами, а также согласно и с текстурными направлениями в гранитах. Как правило, они представлены амфиболитами, реже биотит-роговообманковыми гнейсами, превращенными в краевых частях в тонкопеллоустатые мигматиты или обогащенными порфирилобластами розового пологого шпата. Нередко встречаются теневидные, едва заметные реликты субстрата. Местами граниты обогащены значительным количеством крупных, очевидно, реликтовых зерен розовой обманки, ориентированных в одном направлении. Иногда темнопеллоустатые минералы образуют в них (даже в центральных частях массивов) четкие тонкие слои, в виде пунктирных линий, прослеживающиеся на значительные расстояния.

В составе массивов и жильного материала мигматитов преобладают граниты. Но большую роль играют и пегматиты; они образуют как самостоятельные массивы или реже секущие жилы, так и обособления в гранитах линзовидной, гнездообразной или неправильной формы, не имеющие с ними, как правило, резких границ. Мощность жил колеблется от 0,5 до 5 м. Нередко они будничны.

Граниты по внешнему виду, составу и структуре довольно разнообразны. Это светло-серые или розовато-серые породы преимущественно среднезернистого сложения. Нередки аplitовидные и пегматитовые граниты. Особенно широко распространена порфирилобная, очковая структура гранитов, обусловленная наличием порфирилобастов розового пологого шпата размером до 0,5 см в поперечнике или присутствием линзовидных агрегатов зерен кварца. Текстура гранитов преимущественно полоччатая, линзовидно-полоччатая или линейно-параллельная, реже массивная. По составу они меняются от лейкократовых плагитогранитов до гранитоидов, в которых содержание калиевого пологого шпата может достигать 60%, биотита — 15%, розовой обманки — 12%. Граниты, богатые калием, более характерны для жильного материала мигматитов, особенно восточной части района. Нередко можно наблюдать постепенные переходы лейкократовых разновидностей в меланократовые. Среди последних преобладают биотитовые граниты. Наблюдается определенная зависимость состава темнопеллоустатой части гранитов от состава вмещающих пород. Роговообманковые граниты, например, развиты в окружении роговообманковых гнейсов и амфиболитов; иногда в них встречаются реликты амфиболоидизированного пироксена.

Под микроскопом граниты обнаруживают в основном гранобластовую зучатую структуру, часто встречается порфирилобастовая структура с гранобластовой или лепидогранобластовой структурой основной массы, а также бласто-каляклястическая структура. В юго-западной части территории листа гранобластовая структура плагитогранитов (местами, очевидно, реоморфизованных) иногда переходит в гипидноморфнозернистую.

Плагитоклазы имеют состав кислого олигоклаза (до 12—15% An), иногда альбита, который, возможно, связан с более поздним процессом ультраметаморфизма. Они представлены ксеноморфными зернами с зазубренными извилистыми краями. На границе с калиевым полевым шпатом альбитизированы. Часто от замещения калиевым полевым шпатом остаются лишь его скелетные формы. Полигенетические двойники (обычно тонкие) видны редко. В большинстве случаев плагитоклаз не двойникован. Калиевый полевой шпат обычно нерешеччатый. Чаще всего он выделяется в виде порфирилобастов неправильной формы или прожилковидных зерен в промежутках между другими минералами. Широко развиты антипертиты, сложные зальвиообразные граниты с плагитоклазом свидетельствуют о замещении последнего калиевого полевым шпатом. Полевые шпаты в основном свободны от вторичных образований; пегматизация, сосоритизация, серпентизация, эпидотизация развиты локально. Кварц содержится в количестве от 10 до 40%. Он корродирует зерна других минералов, а также образует пойкилитовые вроски в полевых шпатах. Часто зерна кварца образует агрегаты линзовидных или прожилковидных форм, ориентированные параллельно текстурным направлениям в гранитах.

Биотит представлен ксеноморфными чешуйками коричневого или буровато-коричневого цвета, корродированными всеми силикатными минералами, хлоритизирован. Роговая обманка образует зерна неправильной, изредка короткостолбчатой формы, бледно-зеленого и голубовато-зеленого цвета, часто корродированные, замещена биотитом и хлоритизирована.

Кроме перечисленных минералов, в составе гранитов присутствуют мусковит (до 50—10%) и гранат. Последний складывается порфирилобасты номерничной формы или агрегаты мелких зерен до 2 см в поперечнике. Акцессорные минералы представлены апатитом, сфеном, цирконом и рудами.

Состав пегматитов преимущественно кварц-полевощпатовый. Реже встречаются биотитовые, мусковитовые, амфиболитовые пегматиты с содержанием темнопеллоустатых минералов до 10%. В амфиболитовых пегматитах роговая обманка развивается в виде одиночных удлиненных (до 1—10 см) кристаллов, ино-

Для ориентированных параллельно контактам жил. Эти образования встречаются обычно в роговообманковых породах и относятся, очевидно, к типу перматовых скрещивания. Часто в перматгах присутствует магнетит в виде кристаллов размером до 1,5 см в длину, иногда наблюдается редкая выпаленность пирита. Сложение перматов преимущественно средне- и крупнозернистое. Участками в них развиваются разнозернистые или блоковые струптулы, местами — струптулы кварц-мусковитового и кварцевого замещения. Особенно перматов выделяется отсутствие в большинстве жил зональности. Во многих жилах установлены ширитоподобные и изомерричные участки межкозернистых биотитовых гранитов. Часто можно видеть постепенные переходы от гранита к пермату, расширение перматга по граниту, реакционное замещение гранита порфиробластами плагиоклаза. Все это может свидетельствовать о существовании метасоматического образования перматов.

Согласные и секущие жилы гранитов и перматов с резкими контактами встречаются довольно редко. По известной классификации ультраметаматных пород (Судовиков, 1959), они, вероятно, относятся к жильной фации ультраметаматного комплекса, возникшей позднее основной массы перматов, в результате заключительную фазу ультраметаморфизма.

\* \* \*

Описанные гранитоиды являются преимущественно ультраметаматными образованиями. Об этом говорят их взаимоотношения с вмещающими породами, текстурные особенности, а также их состав, в значительной степени зависящий от вмещающих пород. Минералообразование в гранитоидах имело направленность, обычную при процессах гранитизации: замещение пироксена амфиболом, амфибола — биотитом, биотита — кислым плагиоклазом, развитие калиевого полевого шпата, кварца и альбитизация плагиоклаза. Акцессорные минералы гранитоидов тождественны таковым вмещающих пород. Период ультраметаморфизма в истории полиметаморфизма древнейших пород района был важнейшим по масштабам и характеру преобразований. В этот период породы гнейсового комплекса и метаморфизованные габброиды были почти повсеместно превращены в мигматиты. Мигматизация (в широком понимании этого слова) проявилась в различной степени — от нижней, с которой связано образование мегакристаллов полевого шпата, до верхней, обусловившей появление широких полей анатектитовых гранитоидов.

Процессы, которые привели к этим огромным изменениям в составе и строении гнейсовых толщ и габброидов, принято называть ультраметаморфическими, но с точки зрения минералообразования они являются регрессивными. Так как характеризуются возникновением в породах субстрата более низкотемпературных минералов по сравнению с существовавшими ранее. От регионального прогрессивного метаморфизма процессы ультраметаморфизма во времени, безусловно, несколько оторваны: они наложены на уже метаморфизованные породы — на различные гнейсы и амфиболиты, однако развивались, они, очевидно, в единую с ним ортегическую эпоху, в период наиболее активной тектонической активности региона. Именно в это время наиболее вероятно проникновение назве флюидов, без которых, как известно, процессы гранитизации в больших масштабах невозможны. В связи с тем, что примерная синклинальность мигматизации наблюдалась во многих обнажениях ультраметаматного комплекса пород отнесен, как и породы субстрата, к нижнему протерозою. Это время формирования древнестановых гранитоидов подтверждается анализами абсолютного возраста во многих районах зоны Становика — Джугджура (Виноградов, Тугаринов, 1960; Гиммельфарб и др., 1963).

#### РАННЕМЕЛОВЫЕ ИНТРУЗИИ

На территории джста раннемеловые интрузии пользуются сравнительно широким распространением. По времени формирования среди них выделяются две интрузии, первая из которых сложена биотитово-роговообманковыми гранитоидами, гранитами, кварцевыми монзонитами, вторая — лейкократовыми

биотитовыми гранитами. Образцы разнообразие по величине и форме массивы, они занимают в общей сложности приблизительно пятую часть площади джста, причём 75% ее приходится на долю гранитоидов первой фазы.

#### Биотит-роговообманковые гранодиориты, граниты, кварцевые монзониты (1<sup>д</sup> Ст<sup>1-2</sup>)

Эти гранитоиды слагают крупные массивы к востоку и западу от границы джста. Сравнительно незначительные части этих массивов выходят на поверхность в юго-восточной (300 км<sup>2</sup>), северо-восточной (110 км<sup>2</sup>) и западной (180 км<sup>2</sup>) частях рассматриваемого района. Кроме того, в центральной части его гранитоиды слагают ряд сравнительно небольших обособленных тел (площадью от 13 до 85 км<sup>2</sup>, вытянутых в северо-западном направлении). Такое же направление контактов характерно и для других массивов. Закономерная ориентировка в одном направлении интрузивных тел, имеющих слабо извилистые, часто прямолинейные контакты, подтверждает существование в настоящее время взгляды на форму и характер залегания интрузий, согласно которым эти интрузии трещинные. Они или приурочены к пологим трещинам и залегают в виде плитообразных залежей (Дзевановский, 1969) или используются при своем внедрении системы пересекающихся разломов и имеют грибовидную форму (Красный, 1960). Эти интрузии при неглубоком эрозионном срезе могут образовывать большие по площади выходы на дневную поверхность.

В отличие от древних гранитоидов эти интрузии резко дискордантны, имеют однородное строение, четкие контакты с вмещающими породами, ксенолиты последних они содержат, как правило, лишь в узких приконтактовых зонах. Среди описываемых гранитоидов преобладают гранодиориты, которые постепенными переходами через кварцевые монзониты связаны с гранитами. Граниты и кварцевые монзониты приурочены в основном к центральным частям массивов.

Характер контакта гранитоидов с вмещающими породами в коренной обстановке наблюдается лишь по р. Мульмуте. Контакт гранодиоритов с биотит-роговообманковыми и роговообманковыми гнейсами там довольно сложный. Он представляет собой незначительную по ширине зону, в которой гнейсы насыщены частыми прожилками гранодиоритов мощностью 3—5 см. Наряду с этим здесь же наблюдается и контактиция гранодиоритов с образованием гнейсовидных текстур. Гранодиориты содержат большое количество ксенолитов гнейсов размером до 0,5—1 м в длину, имеющих обычно несные, расплавленные контакты.

По внешнему облику гранодиориты, кварцевые монзониты и граниты очень сходны. Они имеют светло-серый, серый цвет и желтоватый, розоватый или зеленоватый оттенки. Структура их меняется от неравномерносреднезернистой до порфировой, очень редко бывает крупнозернистой. Порфировая структура отмечена в кварцевых частях массивов. В гранодиоритах часто встречаются шпиртовые обособления размером до 3Х5, 15Х20 см, характеризующиеся повышенным содержанием роговой обманки и биотита.

Гранодиориты имеют гипидиоморфнозернистую структуру, состоят из плагиоклаза №№ 28—40 (40—60%), калиевого полевого шпата (от 5 до 20%), кварца (до 10—20%), роговой обманки (до 8—10%), биотита (2—8%). Из акцессорных минералов присутствуют главным образом сфен и руинит, изредка — апатит и циркон. Вторичные образования представлены серпентитом, пелитом, хлоритом (до 15%), эпидиотом и поизитом.

Кварцевые монзониты отличаются от гранодиоритов структурой, некоторым преобладанием биотита над роговой обманкой и характеризуются разным содержанием калиевого полевого шпата и плагиоклаза. Минеральный состав их следующий: калиевый полевой шпат (35—50%), плагиоклаз (35—45%), кварц (8—15%), биотит (3—5%), роговая обманка (2—4%). Акцессорные минералы и вторичные образования аналогичны таковым гранодиоритов.

Биотит-роговообманковые и роговообманково-биотитовые граниты характеризуются сравнительно большим содержанием кварца и калиевого полевого шпата, альбит-олгоклазовым составом платноклаза. Калиевого полевого шпата в них 40—65%, платноклаза 10—35%, кварца до 30%, роговой обманки 3—4%, биотита 2—5%.

Гранитоиды в краевых частях массивов часто имеют постепенные переходы к их порфировым разновидностям — гранит-порфирам и гранодиорит-порфирам; последние особенно характерны для массивов, развитых в северо-западной части площади и в междуречье Голгачи — Тулгаул. Гранит-порфиры характеризуются микрогранитовой, микропегматитовой, микрографической структурой основной массы и следующим соотношением кристалликов (от 0,2 до 1,7 см в поперечнике): платноклаз — 50—60%, калиевый полевой шпат — 15—20%, кварц — до 10%, биотит — 5—10%, роговая обманка — 5—8%. Гранодиорит-порфиры имеют микрогранитовую и аллотриоморфнозернистую, участвую камин микропегматитовую структуру основной массы: минеральный состав кристалликов их следующий: платноклаз (55—95%), калиевый полевой шпат (2—35%), кварц (до 2%), роговая обманка (до 5%), биотит (2—8%).

Химической лабораторией ДВГУ выполнены силикатные анализы гранодиоритов. Результаты анализов, пересчитанные по методу А. Н. Заварицкого (табл. 2) показывают, что гранодиориты сходны с гранодиоритом Дзги, отчасти от него несколько повышенным содержанием глинозема и щелочей и пониженным содержанием извести, железа и магния, что может быть объяснено деанорттизацией платноклазов и несколько меньшим против нормального количеством цветных минералов.

Описанные гранитоиды пространственно неразрывно связаны с крупными интрузиями так называемых удских гранитов, широко развитых в зоне Становика — Джугджура.

Данные о возрасте этих гранитоидов противоречивы: В. Н. Молкин и Ю. А. Альбов (1959) считают их дораннемоловыми на том основании, что на их размытой поверхности в верхнем течении р. Уды залегает конгломерат с флорой неокома; на территории листа N-52-IX, по данным В. Н. Подолгина (1962), на удских гранитоидах залегает нижнемоловое порфириты; по данным же А. Г. Каца (1963), они раннемоловые, так как на территории листа N-52-I ими прорывается эффузивно-туфогенная толща, залегающая на флористически охарактеризованных нижнемоловых конгломератах. Поэтому раннемоловый возраст удских гранитоидов определен условно, хотя на территории рассматриваемого листа он подтвердился анализами абсолютного возраста гранодиоритов, выполненных в ДВГУ Т. К. Ковальчук (Нестеренко, 1960) калий-аргоновым методом (без поправки на воздушный аргон); возраст гранитоидов 120—130 млн. лет.

### Лейкокриптовые биотитовые граниты (<sup>73</sup>St.)

Эти граниты встречаются в различных частях района сравнительно небольшими по площади массивы, штоки, дайки и жилы. Наиболее крупные выходы их (площадью до 50—60 км<sup>2</sup>) расположены в междуречье Бряты и Утугай и в бассейне р. Олонде. Множество мелких выходов гранитов отмечено в юго-восточной части района.

Лейкокриптовые биотитовые граниты имеют довольно разнообразный внешний облик, который характеризуется светло-серым, желтовато-серым, бледно-розовым или розовым цветом, мелкозернистой, неравномерно-среднезернистой, порфировидной или порфировой структурой. Некоторые мелкие тела сложены гранитами пегматидного облика. Текстура пород массивная. Отличительными признаками гранитов также являются светло-серый с голубоватым или фиолетовым оттенками, иногда дымчатый кварц (до 25—45%), микродитовые пустоты размером до 1—2 см с друзами небольших кристаллов кварца и полевитового шпата, а также незначительное содержание биотита (единичные чешуйки, редко до 5%). Под микроскопом они обнаруживают гипидиоморфнозернистую, местами микропегматитовую или микрографическую структуру и следующий

Таблица 2

Химические анализы гранодиоритов

Номера проб	SiO <sub>2</sub>	TiO <sub>2</sub>	Al <sub>2</sub> O <sub>3</sub>	Fe <sub>2</sub> O <sub>3</sub>	FeO	MnO	MgO	CaO	Na <sub>2</sub> O	K <sub>2</sub> O	H <sub>2</sub> O	Σ
1771	67,57	0,55	16,22	0,50	2,22	0,08	1,68	3,80	4,28	3,29	0,23	99,87
5067в	66,84	0,58	16,23	1,57	1,76	0,09	1,88	3,48	3,83	2,63	1,10	100,28
35156	64,97	0,67	16,66	1,18	3,14	0,11	2,24	4,21	4,60	2,73	0,27	100,78

Пересчет по методу А. Н. Заварицкого

Номера проб	a	c	b	s	f'	m'	c'	n	φ	t	Q	a/c
1771	14	3,7	3,5	76,8	46,5	48,7	4,8	66,3	7,3	0,7	19,6	3,8
5067в	12	4,2	7,2	76,6	15,7	42	43	68,5	18,7	0,7	24	2,8
35156	13,2	4,0	8,6	74,2	45,3	43	11,7	71,8	45	0,82	17,2	3,2



(единичные зерна). Микрогранитовая основная масса сложена плагиоклазом (55—60%), кварцем (35—40%) и хлоритом. Соотношения вкрапленников и основной массы колеблются от 1:1 до 2:1. Акцессорными минералами являются рудный и сфен.

Гранит-порфиры (уп Сп) в обнажениях встречаются сравнительно редко. Судя по делению, мощность жил достигает 30—180 м. Это серые породы с розоватым или желтоватым оттенком. Текстура их массивная. Во вкрапленниках размером до 0,8 см присутствуют каменные полевой шпат (20—70%), кварц (до 20%), плагиоклаз (0—60%), биотит (0—5%), роговая обманка и рудный минерал. Основная масса имеет микроферролитовую структуру.

Кварцевые порфиры (уп Сп) слагают дайковые тела мощностью до 20—60 м. Они имеют светло-серый, желтовато-или розовато-серый цвет, массивную текстуру, в приконтактовых частях иногда флюидальную. Вкрапленники размером до 0,4 см представляют водно-прозрачные кварцем (40—60%), плагиоклазом (10—50%), каменным полевым шпатом (0—30%), хлоритизированным биотитом (единичные чешуйки). Основная масса значительно преобладает над вкрапленниками. В составе алотриоморфнозернистой, участками сферолитовой основной массы преобладает плагиоклаз, в меньшем количестве присутствуют каменные полевой шпат и кварц.

Фельзит-порфиры (уп Ск) — буро-красно-коричневые породы, иногда с зеленоватым оттенком, массивной, редко флюидальной текстуры. Они образуют дайки мощностью от 1 до 25 м. Порфирные выделения в них представлены плагиоклазом и каменным полевым шпатом. Основная масса микроферролитовая, алотриоморфнозернистая или микрогранитовая и состоит главным образом из зерен плагиоклаза и каменного полевого шпата, реже встречаются кварц, биотит и роговая обманка.

Диоритовые порфиры (уп Ск) слагают дайки мощностью от 1,5 до 100 м, реже до 200 м. Это зеленовато-серые, темно-серые породы массивной текстуры. Вкрапленники в них представляют плагиоклазом (60—80%), роговой обманкой (20—35%), биотитом (3—15%), кварцем (0—1%), каменным полевым шпатом (единичные зерна). Структура основной массы призматически зернистая, близкая к интерстициальной или трахитовой; сложена она плагиоклазом и буро-зеленой роговой обманкой с примесью мельчайших зерен рудного минерала. Акцессорные минералы — апатит и сфен.

Порфиры (уп Ск) — плотные темно-серые с зеленоватым оттенком породы массивной текстуры, образуют жильные тела разнообразного простирания мощностью от 0,05 до 20—30 м. Во вкрапленниках присутствуют зерна роговой обманки игольчатых форм, до 0,3 см в длину и белого плагиоклаза до 0,1 см в поперечнике, единичные зерна пироксена. Основная микропризматическая масса состоит из тех же минералов, а также рудного и хлорита, присутствующих иногда в значительном количестве (до 8—10%). Отношение вкрапленников в основной массе равно 1:2, в отдельных случаях вкрапленников не более 1%.

Петматиты, тесно связанные с раннепеловыми лейкократовыми гранитами, резко отличаются от описанных выше раннепротерозойских петматитов. Образуют жильные мощностью 2—3 см, очень редко до 3,5 м, они встречаются только в этих гранитах. Эти петматиты характеризуются резким преобладанием каменного полевого шпата (60—65%), присутствием голубоватого, дымчатого кварца (25—35%), незначительным содержанием плагиоклаза (до 5%), биотита и мусковита. Структура их неравномерно- или крупнозернистая, текстура массивная. Иногда наблюдались переходы от лейкократовых биотитовых гранитов к петматиту, петматитовые оторочки в прожилках раннепеловых гранитов.

Аплиты образуют редкие маломощные (до 2 см) жилки в раннепеловых биотит-роговообманковых гранодиоритах. Это, светло-серые, почти белые породы, имеющие аплитовую, участками микрографическую структуру и прерывисто-полосчатую текстуру. Они состоят из кварца (40—50%) и каменного полевого шпата (45—55%). Акцессории представлены плагиоклазом, биотитом, рудным минералом, цирконом.

Территория листа расположена в зоне раннепротерозойского складчатого обрамления Адланского шита (зона Становика — Джугдждура). В пределах этой зоны проявились главный образ протерозойские фазы тектогенеза и значительно слабее мезозойские. Основные структуры на территории листа сформировались в процессе протерозойской складчатости.

Главной пиклотивной структурой района является Брятинская синклиналь, занимающая почти всю территорию листа и сложившаяся породами мультиминской, угулайской и гудайской свит. Породы иланской серии в ретпо-нальном плане находятся на крыле крупной антиклинали, развитой в пределах площади листов N-52-ХIII и N-52-ХIV. Эти структуры разделены крупной интрузией раннепротерозойских габброидов. Последние, образуя в породах брятинской серии межпластовую интрузию, вместе с ними участвуют в строении синклинали и в то же время являются дискордантными по отношению к структурам иланской серии.

Для пород иланской серии характерна очень сложная (вплоть до порфиривки и плейчатости) складчатость северо-западного простирания. Преобладают изоклинные складки, осевые плоскости которых наклонены в сторону ядра антиклинали под углами 30—40°.

Ось Брятинской синклинали проходят в восточной половине района. Дугообразно изгибаясь, она меняет простирание с юго-восточного (в северо-восточной части района) на меридиональное с небольшими отклонениями от последнего сначала к юго-западу, а затем к юго-востоку. Шарнир синклинали, слабо ундулируя, под пологим углом погружается в северном направлении. На территории листа расположено главным образом западное крыло синклинали. Слагающие его породы имеют преимущественно северо-западное простирание с падением на северо-восток. Породы восточного крыла имеют северо-восточное простирание. Это представление о тектонической структуре района в целом согласуется с данными В. Ф. Зубкова, отмечавшего в 1953 г. в среднем течении р. Угулай и в верхнем течении р. Бряты крупную синклинальную структуру.

Западное крыло синклинали осложнено складками второго порядка. Северо-западной части района на нем развиваются сопряженные синклинальная и антиклинальная складки северо-западного простирания. Ширина этих складок колеблется от 10 до 20 км. Ядро синклинальной складки сложено породами угулайской свиты, а в ядре антиклинальной складки выходят метаморфизованные габброиды. Замок синклинальной складки находится в долине р. Дёсс. При движении по нему с севера на юг в береговых обнажениях наблюдается постепенное изменение залегания участвующих в складчатости метаморфизованных габброидов, падающих сначала в юго-западном, затем в юго-восточном и, наконец, северо-восточном направлении. Отсутствие по р. Дёсс пород угулайской свиты может быть объяснено как возвышением шарнира складки, так и приподнятым положением крупного тектонического блока, расположенного в крайней северо-западной части площади. Шарнир антиклинальной складки погружается в юго-восточном направлении, поэтому метаморфизованные габброиды, выходящие в ее ядре, в этом направлении сменяются породами вышеизложенной угулайской свиты.

Кроме этих сравнительно крупных складок на крыльях Брятинской синклинали широко развиты складки более высоких порядков. Судя по разрезам, составленным по береговым обнажениям и линиям горных выработок, там встречаются складки шириной от 0,3—1 м до 1,5—2 км самых разнообразных форм — прямые, косые, флексуобразные, опрокинутые, изоклинные. Непосредственно в обнажениях наблюдались складки шириной до 50 м. Этим различной по форме складчатостью высоких порядков объясняется, очевидно, большое разнообразие как в направлении, так и в величине углов падения пород. Последние колеблются от 10 до 80° при преобладании средних — от 30 до 60°. Значительное распространение на восточном крыле синклинали элементов залегания, указывающих на юго-восточное падение пород (от ядра синклинали), обусловлено наличием опрокинутой изоклиальной складчатости.

Последний, вероятно, указывает на запрокидывание крыла на северо-запад. Это предположение подтверждается складками волочения в биогитово-рогово-обманковых гнейсах по р. Мульмуте, рисунок которых указывает на опрокинутые залегание пород.

Сложная складчатость имеет место в области центриклинального замкнания Брынтинской синклинали (в нижнем течении рр. Лев и Прав Кохани), где элементы залегания пород очень изменчивы. Сложно построено также западное крыло синклинали в междуречье Брынты и Утугай, на широте нижнего течения р. Десс. Быстрые и резкие изменения в направлении простирания и величине углов падения гнейсов отражены сложными изгибами слоев, обусловленные, очевидно, мелкими поперечными складками, а также приспосаблиением пластичных гнейсовых тощ к массиву ультрабаазитов, участвовавшему в складчатости как жесткая глыба.

Мелкие складки, в том числе складки волочения и течения, встречаются довольно часто. Ширина их обычно не превышает 0,6 м. Характерно, что они приурочены главным образом к участкам наиболее интенсивной микратазации гнейсов, что говорит о синкинематичности процессов микратазации и грапитизации. Широко развиты в районе структуры будинажа, указывающие на различное физическое состояние пород во время складчатости. Наиболее часто будинируются амфиболиты, роговообманковые гнейсы, граниты и перматиты. Будины имеют прямоугольную, овальную или линзовидную форму. Длина их колеблется от 0,1—0,4 до 1,5 м, мощность от нескольких до 30—40 см. Междудлинное простояние обычно выложено жильным материалом гранитного или перматитового состава, расстояние между будинами изменяется от 5—8 см до 1—1,5 м. О дифференциации позднейших движений во время складчатости свидетельствуют сравнительно редкие пегматитовые прожилки мощностью от 0,5—0,8 до 2—2,5 см.

Раннеметалловые вулканогенные образования и отложения верхнеохотанской подовиты залегают практически горизонтально.

Чрезвычайно широко на территории листа развиты дизъюнктивные нарушения. Почти на каждом повороте реки в береговых обнажениях отменялись дробленые, миллионизированные, часто окварцованные, пиритизированные или андигонированные породы с зеркалами сколжения, образующие зоны мощностью от 0,2—1,5 м до 50—80 м и реже до 500 м. Крупные нарушения выявлены дешифрированием аэрофотоснимков. В большинстве случаев они подтверждены полевыми наблюдениями. Нередко нарушения контролируются призматическими отрезками долин, крутыми уступами на склонах гор, выдлинаниям. Наиболее широко распространены разломы широтного и северо-восточного простирания, значительно меньше — северо-западного. Как правило, они имеют кругое падение сместителей — под углами 55—80°. В редких случаях наблюдаются надыги с углами падения 30—25° (р. Мульмута).

Видимые в настоящее время разрывные нарушения являются, очевидно, результатом сравнительно молодых (мезозойских и послемезозойских) движений, которые привели к подновлению древних и образованию новых разломов. Многие древние нарушения, служившие в раннем протерозое путями проникновения флюидов, превратились в зоны микратазации и сейчас как разрывные нарушения не фиксируются. Значительная часть нарушений северо-западного направления, вероятно, долгоживущих, часто подновлявшихся, залечена раннеметалловыми гранитоидами. О более древнем возрасте северо-западных нарушений по сравнению с широтными и северо-восточными свидетельствуют также следующие данные. На аэрофотоснимках бассейна рр. Лев и Прав Кохани видно, что разломы северо-западного простирания пересечены разломами северо-восточного и широтного простирания и смещены по ним в горизонтальной плоскости на 150—370 м.

Самыми протяженными в районе являются нарушения широтного простирания. Они контролируются мощными (до 4 км) полками тектонитов и перескают складчатые структуры в северо-восточной, центральной и юго-восточной частях территории листа. Наиболее четко выражены северо-восточная (в верховьях р. Лев, Кохани) и особенно центральная (в среднем течении рек Лев и Прав, Кохани) зоны дробления. На востоке они примыкают к крупным

(протяженностью более 100 км) широтным разломами и, очевидно, фиксируют их западные продолжения. Это подтверждается субширотным простиранием сбрасывателей по р. Прав, Кохани (аз. пад 200° угол 70°). По-видимому, эти дизъюнктивные откосы относятся к числу крупных долгоживущих разломов. Древний возраст их, в частности, подтверждается тем, что раннеметалловые интрузии они не затрагивают. Подновленные участки этих зон легко дешифрируются на аэрофотоснимках, контролируются катаклазитами, миллинитами, а также дайковыми телами и покровами эффузивов.

По нарушениям происходили смещения самых различных амплитуд. Непосредственно в обнажениях фиксировались небольшие (до 1—2 м) смещения сбросового характера. О значительных вертикальных амплитудах смещения при блоковых подыжках по разломам, вероятно, до нескольких сот метров могут свидетельствовать следующие данные. В верховьях р. Лев, Кохани и тектонических клинзев на дневую поверхность выведены метаморфозованные таборроды. К крупному грабену приурочен широтный отрезок р. Утугай. С севера и юга грабен ограничен широтными разломами, фиксируемыми уступами в современном рельефе.

С разрывными нарушениями в районе тесно связаны проявления дислокационного метаморфизма, который особенно сильно отразился на древних образованиях. Он сопровождался расланцеванием и минеральными преобразованиями (диафторезом): хлоритизацией роговой обманки и биотита (никогда очень интенсивной), мусковитизацией полевых шпатов и биотита, а также кварцевым метасоматозом, проявлявшимся как совместно с мусковитизацией и хлоритизацией, так и самостоятельно. Поэтому в зонах разломов, часто можно встретить мусковитовые гнейсы или сланцы, образовавшиеся по древним таборродам или биотитовым гнейсам, и хлоритовые сланцы, возникшие в результате диафтореза амфиболитов, роговообманковых или биотитовых гнейсов. Дизъюнктивные нарушения и связанные с ними диафториты воизначально, очевидно, в разные периоды — от протерозоя до настоящего времени, но особенно интенсивно диафторез проявился, по-видимому, в домезозойское время, так как крупные зоны диафтореза срезаются мезозойскими интрузиями. Подновление же этих зон проксидитин, вероятно и в мезозое: возраст образцов диафторированного гранат-биотитового гнейса гудынской свиты с р. Утугай, определенный арповым методом в лаборатории ДВГУ (Ковальчук, 1960), оказался равным 157 млн. лет.

История геологического развития района в общих чертах представляется в следующем виде.

В начале протерозоя рассматриваемый район, как и вся зона Становика — Джугджура, имел геосинклинальный режим с интенсивным накоплением осадков, сиосимых с архейской консолидированной складчатой зоны. Накопление осадков перемежалось, вероятно, с подволными наглиями вулканических лав основного состава, превращенных впоследствии в амфиболиты. Как во всякой длительно развивающейся геосинклинальной области, процесс накопления осадков и прогибания земной коры здесь, вероятно, неоднократно сменялся поднятием ее и размывом накопленных отложений. Последующие складчатость и интенсивный метаморфизм в значительной степени затухавшая перерывы в осадконакоплении и не позволяют с достаточной достоверностью установить их существование. Один из таких перерывов на основании косвенных доказательств предполагается между породами брынтинской и ильканской серий. О значительности этого перерыва и возможном несогласии может свидетельствовать различный вещественный состав этих серий, а также различный характер взаимоотношений последних с интрузией таборродов майкоджанского комплекса, которые слгают согласные тела в породах брынтинской серии и являются дискордантными по отношению к структурам ильканской серии. Становление этой интрузии связано с одним из начальных этапов раннепротерозойского складкообразования, вероятно, совпадавшим во времени с завершением формирования брынтинской серии. Несколько позже, в процессе погружения и метаморфизма отложений, а также согласных тел таборродов по разломам в них проникли ультрабазиты второй фазы того же комплекса.

Во время преимущественного поднятия земной коры — в Кульминационный период раннепротерозойского тектонеза — все ранее сформировавшиеся метаморфические породы были интенсивно нигматизированы, гранитизированы, перекристаллизованы и одновременно собраны в складки, в общих чертах сохранившиеся до настоящего времени. После консолидации размыченных в период складчатости и ультраметаморфизма гнейсовых толщ, метаморфизованных габброидов и возникших на их субстрате гранитоидов район постепенно превратился в возвышенную горную страну.

Геологическая история района в промежутке от протерозоя до нижнего мела не ясна. Вероятно, в это время он представлял собой устойчивую область сноса. На протяжении складкообразовательных процессов в Монголо-Охотской геосинклинали район реагировал лишь блоковыми движениями по разломам, заложеным в протерозое, а также образованием новых разломов.

В начальную стадию мезозойского тектонеза глыбовые движения земной коры активизировались. Эти движения сопровождались внедрением крупных телороговых гранитоидных интрузий. По мнению Ю. К. Дзевановского (1959) и Л. И. Красного (1960), интрузии приурочены к долгоживущим глубинным разломам, заложеным в позднем протерозое. На территории листа они слатог углененные массивы, ориентированные в одном направлении и секущие древние складчатые структуры.

После некоторого перерыва, во время которого район подвергался интенсивному действию процессов денудации, вскрывших раннемеловые интрузии, активные блоковые движения возобновились. На этот раз они сопровождалась изгибанием тав среднего состава и отложением туфогенного материала. Подводящими каналами для эффузиев, как и для интрузий, служили разломы, заложенные в предыдущие этапы тектонеза и подновлявшиеся последующими движениями. Затем произошло внедрение сравнительно небольших интрузий лейкократовых биотитовых гранитов, также использовавших ослабленные тектонические зоны.

С нижнего мела и до настоящего времени тектоническая жизнь в районе опять стабилизируется — он испытывает лишь незначительные медленные поднятия, чередующиеся с опусканиями. Поднятия и последовавшая за ними денудация привели к почти полному уничтожению эффузиев и их туфов. Опускание района в неогеннижнечетвертичное время фиксируется накоплением на поверхности денудационного выравнивания отложений верхнесастанской послевиты. Об относительной спокойной тектонической обстановке в этот период свидетельствует практически горизонтальное залегание раннемеловых вулканических образований и верхнесастанских отложений. В результате последовавшего в средне-верхнечетвертичное время поднятия эти отложения были почти полностью смыты. Неравномерность поднятия во времени отразилась в образовании в речных долинах ряда надпойменных террас. Поднятия продолжают и в настоящее время, о чем говорит энергичная глубинная эрозия основных рек района. Однако поднятие испытывает, очевидно, не весь район: в его центральной части (в верхнем течении рр. Тугаул и Прав. Коханн), где террасы в речных долинах отсутствуют, и аккумулятивные процессы преобладают над эрозийными, возможно, происходит опускание.

## ГЕОМОРФОЛОГИЯ

Рельеф района в целом представляет собой древнюю поверхность выравнивания, которая образовалась в результате длительных процессов денудации в условиях стабильности, установившихся в районе после проявления мезозойского тектонеза. В настоящее время она характеризуется энергичным эрозийным взрезом, который начался, вероятно, в среднечетвертичное время и привел к образованию каньонобразных долин, расчленивших поверхность выравнивания на узкие, вытянутые в субмеридиональных направлениях водораздельные гряды мелкосопочника или низкотеррас.

Поднятие района, обусловившее глубинный взрез и ведущее к расчленению пеннелгзпрованского в прошлом рельефа, не было равномерным. Раньше или

возможно более интенсивно начала подниматься крайняя северная часть района, где развит преимущественно низкотеррасный рельеф, более расчлененный по сравнению с рельефом остальной территории листа. Исходя из этого, на территории листа выделяется два типа рельефа: 1) денудационно-эрозийный низкотеррасный пологосклонный рельеф области поднятия и 2) эрозийно-денудационный холмисто-увалистый рельеф стаблизированной области. Сколь угодно четкой границы между областями распространения этих типов рельефа провести нельзя. Они огниваются главными образом абсолютными высотами и характером расчлененности мелкими ручьями водораздельных пространств. Крупные реки, пересекая обе области, не меняют заметно характера долин и террас, поэтому описание последних, относящиеся к обоим типам рельефа, приводятся отдельно.

Денудационно-эрозийный низкотеррасный пологосклонный рельеф области поднятия развит в северной, преимущественно в северо-западной части района, занимая примерно четвертую часть его площади. Он характеризуется широкими, сравнительно глубоко врезаемыми долинами с пологими склонами, матками, округлыми чертанями водораздельных пространств. Абсолютные отметки водоразделов колеблются от 550 до 700—850 м, редко достигают 920 м, однако преобладают высоты порядка 600—650 м. Относительные превышения колеблются в пределах 200—400 м и редко составляют 500 или 600 м. Куполовидные и плоские вершины водоразделов незначительно возвышаются над седловинами. Форма склонов обычно выпуклая, реже прямая, углы наклоне склонов равны 10—15, иногда 20—25°. Часто на склонах прослеживаются углубления высотой в 1,5—2 м, обусловленные своим происхождением софидно-циклонных пролесам или иногда — молодым разломам.

Склоны плавно переходят в днища долин и только местами отделяются от них крупными уступами высотой 1,5—4 м. Мелкие речки и ручьи имеют заикообразную и лишь иногда в верховьях v-образную форму долин. Ширина днища долин равна 50—200 м, русел 2—7 м. Русла, как правило, слабо врезаны в глинистые отложения; лишь в прудовой части (на расстоянии 1—1,5 км от устья) местами в них обнажаются коренные породы. В долинах наблюдается только пойма терраса, которая незаметно, часто без уступов, соединяется со склонами.

Эрозийно-денудационный холмисто-увалистый рельеф стаблизированной области развит на остальной территории района. Для него характерны широкие развальные долины с очень пологими склонами. Водораздельные пространства имеют форму плавных волнистых увалов, средин которых возвышаются отдельные холмы с абсолютной высотой 450—550 м; относительные превышения их составляют 100—120, реже 200 м. Плоские водораздельные вершины залесены мелководными седловинами. Склоны большей частью выпуклые, с углами уклона в 5—6°, редко 8—10°. У подножий они еще более выпуклые, выносятся и плавно или (реже) посредством невысоких (1—2,5 м) уступов с уклоном в 15—20° сменяются с днищами долин мелких речек и ручьев. Подседлине имеют неглубокие долины со слабо врезанными в пойменные аллювий блуждающими меандрами. Ширина долин достигает 600—800 м. Днища их всегда пологовогнутые, надпойменные террасы отсутствуют. В юго-восточной части района на субстрате роговообманково-биотитовых гранитоидов и гранитов развит своеобразный холмисто-увалистый рельеф, отличающийся чрезвычайно сильной изрезанностью склонов гор мелководными распадками. Образование этого рельефа объясняется, очевидно, заложением последних по трещиноватости гранитоидов.

Для описанных типов рельефа характерны островные горы, выделяющиеся на фоне слабо расчлененной поверхности денудационного выравнивания большой относительной высотой (до 300—330 м) и сравнительно крупными, выпуклыми склонами. Ручьи, берущие начало в этих горах, и реки, пересекающие их, имеют узкие долины с v-образным поперечным профилем. Этот отпреципированный рельеф возник на субстрате изверженных пород, оказавшихся более устойчивыми к выветриванию, чем окружающие их метаморфические породы. В центральной части района он развит на субстрате раннемеловых лейкокра-

товых гранитов, в северо-западной — на субстрате раннепротерозойских ультрабазитов, на левобережье р. Лев. Кохани — на субстрате покрывных порфиритов.

Долины крупных рек района — Брянты, Утугай, Дёсса, Мульмути, а также рек Прав. и Лев. Кохани в их нижнем течении — имеют однотипное строение. Форма долин асимметричная или симметричная пологосклонная, значительно реже — широкообразная или в-образная. Они не широкие, до 600 м, но сравнительно глубоко (на 60—80 м) врезаются в поверхность денудационного выравнивания. Буджадошим характером меандр отлагается лишь верхнее течение р. Утугай. Интересно поведение меандр рек Лев. и Прав. Кохани: в верховьях и средних течениях они буджадошны, а в низовьях — долинные. Характер меандр меняется довольно резко, что может свидетельствовать об образовании антецидентных участков долин в результате блоковых движений по разломам. В целом врезаемые меандры, вероятно, унаследованы от периода дряхлости гилросети, но в ряде мест наблюдается приуроченность их в тектоническим нарушениям или ослабленным зонам, некоторые участки излучинно совпадают с направлением простирания гнейсов. Для всех рек наиболее характерна асимметричная форма долин. В вершинах излучин реки почти всегда образуют скальные берега с высотой обрывов до 20—40 м, противоположный берег, обычно террасированный, полого поднимается до самой водораздельной линии. Тальвеги рек ступенчатые, многочисленны пороги и перекаты, вдоль пологих берегов часто встречаются песчано-галечниковые косы. В долинах крупных рек, кроме пойменной, наблюдаются три надпойменные террасы. В связи с тем, что процесс углубления русел на притоки крупных рек почти не распространяется, можно предположить, что поднятие района и связанное с ним расширение началось сравнительно недавно.

Пойменная терраса развита в виде узких полог впадин и прерывается лишь в местах прижимов у скальных обрывов. Над уровнем реки она возвышается на 1—4 м, ширина ее доходит до 200—400 м, иногда 1—1,5 км. Характерной чертой поймы рек Утугай, Лев. и Прав. Кохани является резкое сужение (местами до нескольких десятков метров) в нижнем течении, на антецидентных участках долин. Нередко отмечается четкое деление поймы на низкую и высокую, причем на долю последней часто приходится большая часть. Иногда в руслах рек встречаются острова, выходящие остатками высочайшей поймы. Прирусловая часть поймы, обычно наиболее высокая, расчленена узкими ложбинками. Береговые валы выражены слабо и имеют ограниченное распространение. На небольшом удалении от русла (5—20 м) поверхность поймы выровнена. В местах сочленения со склоном или уступом более высокой террасы в пониженной части поймы встречаются болота, старины, озера.

Первая надпойменная терраса часто встречается на всем протяжении рр. Брянты, Утугай, Дёсса и Мульмути, в единичных местах — по рр. Лев. и Прав. Кохани. В долинах более мелких рек в 2—2,5 км от устья она переходит в пойменную террасу. Высота ее над средним уровнем реки колеблется от 3 до 6 м, ширина — от 40 до 100 м, но иногда достигает 2 км (р. Утугай в верхнем течении). На всем протяжении террасы поверхность ее имеет уклон в сторону русла. Закрапина, бровка и подошва террасы обычно сглажены и плавно переходят в склоны и поверхность поймы. Терраса везде аккумулятивная, на ее поверхности часто встречаются болота.

Вторая надпойменная терраса наблюдается в виде отдельных обрывков в долинах рр. Брянты, Утугай, Дёсса и Мульмути. В долине р. Прав. Кохани она встречается лишь у устья руч. Козакты, а по р. Лев. Кохани — в 5 км ниже устья р. Наминчи. Ширина колеблется от 50 до 400 м, а высота от 8 до 10 м. Слабо волнистая поверхность террасы имеет небольшой уклон в сторону русла, уступ крутой. Везде она аккумулятивная, иногда покровная, а по р. Олдонде — эрозивная.

Третья надпойменная терраса широко развита по рр. Брянте, Утугаю, Дёссу и Мульмуте. По рр. Лев. и Прав. Кохани она встречается лишь в низовьях. Единичные обрывки ее зафиксированы в долине р. Олдонде. Везде терраса эрозивная, аллювиальные отложения незначительной мощности обнаружены

на ее поверхности лишь по р. Олдонде. Поверхность террасы выровненная, слабо наклоненная. Бровка иakraина ее в большинстве случаев выражены резко. Ширина террасы доходит до 2 км. Уступ высотой от 15 до 45 м крутой, ровный. Как и поверхность террасы, он обычно покрыт крупноглыбовыми делювием. В излучинах террасы часто подмываются рекой и образует скальные береговые обрывы.

История развития современного рельефа района находится в тесной связи с формированием речных систем Алдана и Зеи, между которыми издавна шла борьба за водораздел, приводившая к перераспределению речной сети, к перемещению главного Алдано-Зейского водораздела. Перевес в этой борьбе, как известно (Билибин, 1956), был всегда на стороне Зейской речной системы, так как она имеет более низкий по сравнению с Алданским базис эрозии. Поэтому перемещение главного Алдано-Зейского (Станового) водораздела происходило с юга на север, в область бассейна р. Алдан. В связи с этим историко-различия современной гилросети района можно представить в следующем виде.

В основных чертах гилросети района была заложена, очевидно, в начале среднечетвертичной эпохи, когда после длительного периода теплеменнизации в условиях стабильности, Зейский базис эрозии стал понижаться и начали размыться верхнесоктаханские отложения. Алдано-Зейский водораздел находился в то время, по-видимому, на широте г. Луи, вблизи северной рамки листа. Реки Дёсса, Брянта, Утугай, Тутаул, Прав. и Лев. Кохани были, очевидно, небольшими, примерно одинаковыми по величине реками, стекавшими в меридиональном направлении с близлежащего водораздела. Причем современные ручьи Подзёкский, Утанак, Октагли и верхнее течение р. Утугай были, по всей вероятности, верховьями рек (соответственно) Утугай, Тутаул, Прав. и Лев. Кохани. Понижение Зейского базиса эрозии оживило деятельность отступающей эрозии, привело к перехвату реками района части бассейна р. Сутам (притока р. Алдан) и постепенному перемещению на север главного Алдано-Зейского водораздела, на месте которого образовался расчлененный низкотеррасный рельеф. Перераспределение речной сети района в значительной степени способствовало, также горстование поднятия, сопровождавшегося блоковыми опусканиями. Так, в северной части района по крупным широтным разломам образовалась большой грабен, в результате чего р. Утугай, используя его, приобрела широтное направление и перехватила верхнее течение р. Лев. Кохани, а верховья рр. Тутаул и Прав. Кохани превратились в левые и правые притоки р. Утугай.

Это местное перераспределение водоразделов, а также перехват части бассейна р. Сутам привели к резкому увеличению дебитов крупных рек (Дёсса, Брянта и Утугай), усилению боковой и главным образом глубинной эрозии, продолжавшейся и в настоящее время. Реки же Тутаул, Прав. и Лев. Кохани, оказавшись обезглавленными, потеряли значительную часть своей энергии. Резкое сокращение их дебита привело к господству процессов аккумуляции, заполнению широких долин делювиево-аллювиальными отложениями, к образованию в центральной части района своеобразного холмисто-увалистого рельефа, почти лишённого признаков омоложения.

## ПОЛЕЗНЫЕ ИСКОПАЕМЫЕ

На территории листа с конца прошлого столетия известны россыпные месторождения золота. Работами последнего времени установлены проявления черных металлов (железа, титана, хрома), цветных металлов (медь, свинец, цинк, никель, кобальт), золота (коренной), редких металлов (олово, вольфрам, молибдена, лантана, церия, тория, рутин), а также проявления неметаллических полезных ископаемых — горного хрусталя, флюорита, барита, сидерита-мусковита. В практически неограниченных количествах имеются каменные строительные материалы — гнейсы, базальты, ультрабазальты, гранитоиды, которые могут использоваться в дорожном строительстве, а также как бутовый и облицовочный материал.

**Магнетитовые руды**

Проявления железа на территории листа выявлены геологическими (Левченко, 1951; Несереженко, 1959) и аэромагнитными работами. Они приурочены к метаморфизованным габброидам, роговообманковым и биотит-роговообманковым гнейсам, в различной степени обогащенными магнетитом, реже титаномангнетитом. Большинство из них концентрируется в северо-западной части площади. Из известных 40 проявлений железа на карту нанесено только девять. Остальные из-за незначительного содержания магнетита и весьма ограниченных масштабов оруденения никакого интереса не представляют.

Проявление на левом берегу р. Брянты [9] представляет собой линзу магнетитовой железной руды, согласно залеганию в роговообманковых гнейсах утунгской свиты. Рудное тело прослежено по простиранию горными выработками на 12 м. Мощность его 3,5—4 м, простирание 110°, падение близкое к вертикальному. Магнетит распределен равномерно и представлен кристаллами размером до 2 мм. Содержание железа в руде, по данным химического анализа, достигает 34,96%.

Проявление в правом борту р. Брянты [75] представлено линзой магнетитовой железной руды, залегает согласно с пологостью метаморфизованных габброидов. Длина рудного тела не менее 5 м, мощность 0,8 м. Содержание магнетита, определенное визуально, равно 50—60%.

Проявление на левом борту р. Брянты [17]. В береговом обрыве в среднем зернистом массивном габбро фиксируется шпировидное обособление площадью 1,5 м<sup>2</sup>, обогащенное магнетитом. Содержание магнетита составляет ориентировочно около 60% породы.

Проявление в правом борту р. Дёсс [4] приурочено к контакту дайки гранит-порфира с габбро-амфиболитом. Содержание титаномангнетита в габбро-амфиболите, определенное визуально, не превышает 50%.

Проявление на водоразделе рр. Амнуначи и Ильдеус [11]. В делювии наблюдается обломки биотитовых и биотит-роговообманковых гнейсов с содержанием магнетита до 70% и титаномангнетита до 10%. Рудные минералы совместно с биотитом и роговой обманкой образуют в гнейсах прослойки мощностью до 1—1,5 см.

Проявление на левом берегу р. Дёсс [3]. Вкрапленность магнетита и титаномангнетита обнаружена в глыбах габбро-амфиболита. Содержание рудных минералов, по данным минералогического анализа штуфной пробы, не превышает 55%.

Проявление на левобережье р. Брянты [42]. Среди пород Мульмутинской свиты в делювии встречены обломки амфиболового гнейса с вкрапленностью магнетита. Количество магнетита, по данным минералогического анализа, составляет 19%.

Попадение на левобережье р. Брянты [48]. В делювиальных обломках метаморфизованных габброидов минералогическим анализом штуфной пробы установлено содержание 12,8% титаномангнетита.

Проявление в истоках р. Ильдеус [2]. В делювии обнаружены обломки габбро-амфиболита с вкрапленностью магнетита, содержание которого, определенное минералогическим анализом штуфной пробы, равно 11,6%.

**Титан**

В коренном обнажении проявление титана обнаружено лишь на водоразделе рек Лев, Кохани и Намныри. Там канавой вскрыт пласт ильменитсодержащего габбро-амфиболита мощностью 1,5 м. Ильменит содержится ориентировочно в количестве 40—50% породы.

Ильменитсодержащие минералы — сфен, рутил, анатаз, ильменит — обнаружены в шлихах из аллювиальных отложений почти повсеместно. Сфен и рутил встречаются во многих шлихах в количестве от единичных зерен до весовых содержаний, однако не превышающих обычно 500 г/м<sup>3</sup>. Содержание анатаза

в шлихах не превышает единичных зерен. Ильменит присутствует почти во всех шлихах. Содержание его колеблется от единичных зерен до 0,1—1,5 кг/м<sup>3</sup>, реже до 10—16—32 кг/м<sup>3</sup> (бассейн р. Подлейского). Незначительно содержание титана (не более 0,01—0,1%) установлено спектральным анализом во всех дюнных пробах.

Широкое распространение титансодержащих минералов обусловлено тем, что они присутствуют в качестве акцессорной примеси как в древних гнейсах и габброидах, так и в молодых гранитоидах. Устойчивых ореолов рассеяния они нигде не дают. Содержание их в шлихах, как правило, невысокое, поэтому вряд ли можно предполагать наличие в районе крупных промышленных концентратов титана.

**Хром**

Единичные зерна хромита обнаружены в разрозненных шлихах, отобранных по рр. Ильдеус, Дёсс и Брянта (Зубков и др., 1952). Источником его является массив ультрабазитов между речью Ильдеус — Брянта, в которых он находится в качестве акцессорного минерала.

**ЦВЕТНЫЕ МЕТАЛЛЫ**

**Медь**

Спектральным анализом медь выявлена во многих делювиальных металл-лометрических пробах в количестве от следов до 0,01% и почти во всех дюнных пробах — от следов до 0,006%, реже — до 0,01 и 0,02%. Шлиховым обследованием по р. Лев и Прав. Кохани обнаружены единичные зерна малахита (Зубков, 1953).

Ореол рассеяния меди в бассейне р. Мульмуты [67] площадью 14 км<sup>2</sup> характеризуется следующим содержанием меди в делювиальных пробах: 0,01% (пять проб), 0,02% (четыре пробы), 0,03% (одна проба). На этом участке разбиты микстанизированные биотит-роговообманковые гнейсы и метаморфизованные габброиды, рассеянные многочисленными маломощными зонами дробления. В пределах зон породы хлоритизированы, эпидотизированы, пиритизированы и иногда обохрены. С такими зонами и связано, очевидно, повышенное по сравнению с фоновым содержание меди в пробах. Северная часть ореола совпадает с ореолом рассеяния свинца. Наряду с медью в этом же ореоле в отдельных пробах отмечается содержание цинка и никеля в количестве до 0,01%.

**Свинец**

Проявления свинца в районе установлены анализом штуфных проб, спектрометаллометрическим опробованием делювия, а также шлиховым опробованием. «Фоновое» содержание свинца в дюнных и делювиальных спектрометаллометрических пробах колеблется от 0,001 до 0,003%. Единичные знаки (2—8 зерен) галенита обнаружены в двух шлихах во второму снизу правому приотку р. Огдонде и в одном шлихе — по р. Брянта.

Проявление в левом борту р. Дёсс [6]. В метаморфизованных габброидах горными работами вскрыта зона брекчирования и окварцевания, содержащая густую вкрапленность пирита и релкту — галенита. Длина рудного тела 20 м, мощность до 0,35 м. Содержание свинца в борозловых пробах, по данным спектрального анализа, составляет 0,01% — 1%, меди — 0,01%. Вблизи рудного тела метаморфизованные габброиды прорваны дайками гранит-порфиров; с последними, вероятно, генетически и связано оруденение.

Проявление в левом борту р. Мульмуты [69] приурочено к зоне дробления в метаморфизованных габброидах. В штуфной пробе весом 0,9 кг, взятой из этой зоны, обнаружено более 100 зерен галенита размером от 0,01 до 1 мм.

Из 500 делювиальных спектрометаллометрических проб, отобранных по сетке  $100 \times 20$  м при детализации, свинец содержится только в семи (0,01—0,02%), медь — в пяти (0,01—0,03%). Эти пробы приурочены к борту р. Мульмути, где обнажаются многочисленные зоны дробления, очевидно, незначительно обогащенные рудными минералами.

Проявление на левобережье кт. Рыбного [24]. Здесь в проточке делювиального обломка кварц-полеволитовой породы весом 1,2 кг было обнаружено до 150 зерен галенита размером до 0,05 мм. Проявление приурочено к зоне контакта раннепротерозойских гранитоидов с раннеделювиевыми биотит-роговыми амфиболовыми гранитами, насыщенными кварц-полеволитами и кварцевыми жилами мощностью от 0,1 до 10 м. Содержание свинца в жилах не превышает 0,003%.

Проявление в левом борту р. Брянты [47]. Галенит в количестве 16 зерен обнаружен в штуфной пробе весом 1,3 кг, отобранное из маломощной зоны дробления в дайки кварцевой порфира.

Проявление в левом борту р. Утугань [53]. В штуфной пробе из жилы кварцлазерованного и обожженного раннеделювиевого гранита, прорывающего роговообманковые гнейсы Мульмутинской свиты, минералогическим анализом установлено пять зерен галенита.

Ореол рассеяния на левобережье р. Лев. Кохани [56]. Площадь ореола (5 км<sup>2</sup>) сложена метаморфизованными габброидами, прорванными интрузивной раннеделювиевой гранитной дайкой гранит-порфиров и фельзит-порфиров. Повешенное содержание свинца в количестве от 0,01 до 0,06% обнаружено в пределах ореола в 120 спектрометаллометрических пробах.

Ореол рассеяния в среднем течении р. Прав. Кохани [59] имеет площадь 6 км<sup>2</sup>. В четырех спектрометаллометрических пробах содержание свинца составляет 0,01%, в трех 0,03%, в одной 0,1%. Проявление свинца генетически связано, очевидно, с дайками гранит-порфиров, прорывающих на площади ореола биотитовые гнейсы угуйской свиты.

Ореол рассеяния свинца в бассейне р. Мульмути [68] площадью 4 км<sup>2</sup> частично совпадает с ореолом рассеяния меди. Повышенное содержание свинца (от 0,01 до 0,06%) отмечено в шести пробах, отобранных через интервалы 100—500 м.

#### Данные

Цинк отмечен в большинстве металлометрических проб из аллювия и делювия в количестве от 0,001 до 0,006%. Лишь в некоторых разрозненных пробах содержание его достигает 0,01—0,03%. В одном из шихтов, взятых в верхнем течении р. Прав. Кохани, обнаружены единичные зерна сфалерита (Зубков, 1953).

#### Никель и кобальт

На территории листа известна два участка с проявлениями никеля в коренных обнажениях и три ореола рассеяния никеля и кобальта, выделенные по данным металлометрического опробования делювия и аллювия. Никелем и кобальтом заражена вся территория листа. Они присутствуют почти во всех металлометрических пробах в количестве от следов до 0,001—0,002%. Это объясняется, очевидно, широким развитием в районе метаморфизованных габброидов. Выделенные ореолы приурочены к площадям развития интрузий ультрабазитов и габброидов, содержащих жильные тела ультрабазитов, и, безусловно, генетически связаны с последними.

Проявления никеля на правом берегу р. Брянты [18]. Мелкая вкрапленность пентландита была обнаружена в 1961 г. сотрудником ДВГИ СО ДВФ АН СССР С. А. Шеккой в жилах пироксенитов и перидотитов, секущих расщеливающиеся габброиды. Пентландит слегает клинообразные зерна размером до 0,9 мм с зубчатыми краями. Обычно он развевается от периферии к центру зерен пирротина. Из других сульфидов присутствуют пирит, халькопирит и марказит. В руде было установлено не более 0,2% никеля и не более 0,34—

0,45% меди. В 1962 г. Брянтинской поисково-разведочной партией ДВГУ (В. А. Кулинов, М. В. Храмцов) в районе этого проявления было выявлено дополнительно до 20 жил ультрабазитов мощностью 10—50 м. Простирание жил северо-восточное, падение юго-западное, крутое (70—80°). По простиранию они прослежены на расстоянии до 60 м. Содержание сульфидов в них, определенное визуально, достигает 5—10%.

Проявления никеля на левобережье р. Брянты [19] обнаружены В. А. Кулиновым и М. В. Храмцовым в 1962 г. На участке площадью около 1 км<sup>2</sup> в оливиновых габбро выявлено до 10 жил пироксенитов и перидотитов. Мощность жил 4—8 м, по простиранию они не прослежены. По предварительным данным, содержание сульфидов в ультрабазитах достигает 10%. Преобладает пирротин (до 9%), пентландита — 0,5—1% от количества пирротина. Никель, по данным спектрального анализа, присутствует в количестве 0,1—0,3%.

Ореол рассеяния никеля и кобальта в бассейне левых притоков р. Брянты [1] на территории листа имеет площадь 38 км<sup>2</sup>. Он характеризуется содержанием никеля в донных пробах в количестве от 0,002% (четыре пробы) до 0,003 (11 проб), 0,004 (одна проба), 0,006% (11 проб) и в делювиальных пробах в количестве 0,002—0,01% (восемь проб) и 0,03% (одна проба). Кобальт присутствует в пробах в количестве от 0,001% (пять проб) до 0,003% (12 проб). На площади ореола развиты метаморфизованные габброиды, содержащие множество жильных тел рудноносных ультрабазитов. В этот ореол входят описанные выше проявления.

Ореол рассеяния никеля и кобальта в бассейне р. Брянты [16] площадью 56 км<sup>2</sup> представлен донными пробами с содержанием никеля от 0,001% (семь проб) до 0,002 (восемь проб), 0,003 (14 проб), 0,004 (одна проба), 0,005% (одна проба), кобальта от 0,001 до 0,003% (10 проб) и делювиальными пробами, в которых никель обнаружен в количестве 0,01—0,03% (семь проб), а кобальт в количестве 0,001—0,003% (семь проб). Ореол приурочен к крупному массиву ультрабазитов между речью Ильдеус — Брянта.

Ореол рассеяния никеля в среднем течении р. Утугань [20] площадью 32 км<sup>2</sup> включает в себя донные пробы с содержанием никеля 0,001—0,003% (шесть проб), 0,004—0,005% (19 проб), 0,006% (одна проба). Этот ореол также, вероятно, связан с ультрабазитами, слагающими вместе с габбро небольшой массив.

#### БАЛГОРОДНЫЕ МЕТАЛЛЫ

##### Золото

Понсками и добычей золота на территории листа занимались с 90-х годов прошлого столетия и до 1930 г. золотопромывальники (известно семь фамилий), хитиники и «вольеры» старатели, с 1928 по 1931 г. Зейские, а с 1931 по 1944 г. Дамбукинское приисковое управление треста «Амурзолото». В 1946 г. поисково-разведочные работы вела Брянтинская партия (П. А. Сушков) Амурской экспедиции геологоразведочной конторы треста «Золоторазведка». В результате всех этих работ в районе выявлено пять незначительных проявлений рудного золота, 31 промышленное и девять непромышленных россыпных месторождений золота. В россыпях добыто (по очень небольшим данным) 148 кг золота. Забалансовые запасы, подсчитанные только по восьми месторождениям, равны 132 кг. По многим россыпям сведения о количестве добытого золота и его содержания не сохранились.

Проявления рудного золота были обнаружены П. А. Сушковым по р. Десс. Пробы рудного анализа следи (до 500 мг/т) золота установились в коренных обнажениях окварцованных и пиритизированных габброидов [5], гранитов [13], гнейсов [38]. Такое же содержание золота обнаружено в обломке магнетитосодержащего пематита [43] и в обломках катаклазированной, осветленного порфирита с охристыми пустотами выщелачивания [35].

Россыпные месторождения золота известны по рр. Брянте, Утугану, Дессу. Прав. Кохани и небольшим притокам этих рек. Россыпь по ключу Бульбулгакта [77] относится к бассейну р. Унахи.

В долине р. Брянтты имеется девять небольших россыпей золота, восемь из них отработывались.

Россыпь в 18 км ниже устья р. Утагли [79] — «коса Седло» — Левобережная» отработывалась бутарями на площади  $20 \times 50$  м.

Россыпь в 11 км ниже устья р. Утагли [76] принадлежит к типу аллювиально-русловых. Добыча золота производилась с паромов.

Россыпь в 0,1 км ниже устья р. Утагли [74] также относится к типу аллювиально-русловых. В 1910—1914 гг. золотопромышленник Федоров производил здесь небольшие эксплуатационные работы. С паромов золота добывалось также в 1939—1940 гг.

Россыпь в 0,1 км выше устья р. Утагли [73] является долинно-аллювиальной. Незначительные работы по добыче золота производились на косе правого берега.

Россыпь в 26,5 км выше устья р. Дёсс [44] также долинно-аллювиального типа. На косе левого берега в 1937 г. отработывалась площадь размером  $50 \times 10$  м.

Россыпь в 38 км выше устья р. Дёсс [36] находится на косе правого берега. Здесь отработывалась площадь размером  $60 \times 15$  м.

Россыпь в 42 км выше устья р. Дёсс [34] — «коса Ракова» — является аллювиально-долиново-русловой. Довольно большие работы производились в русле (двумя паромами) и на косах в 1937 г.

Россыпь в 48 км выше устья р. Дёсс [29] — «коса Крайнова» относится к типу долинно-аллювиальных. На косе левого берега в 1937 г. одной бутарой отработывалась площадь размером  $20 \times 50$  м.

Россыпь в 67 км выше устья р. Дёсс [7] — «Увальная россыпь» принадлежит к типу аллювиально-русловых. Открыта она в 1938 г. Содержание золота колеблется от  $1425$  до  $5176$   $мг/м^3$  на пласт мощностью от 0,8 до 1,6 м. Золото средней крупности, форма пластинчатая, слабо окатанная. Изредка встречаются самородки до 1—2 г. Проба 890. Запасы незначительные и не обеспечивают работу драги даже на год.

В том же 1938 г. была произведена паромная разведка долины р. Брянтты от «Увальной россыпи» до северной рамки листа, но промышленных результатов она не дала. В 1939 г. на участке от  $57^{\circ}13'$  до  $54^{\circ}45'$  была пройдена 41 майноватая линия, по 1—2 майны в каждой линии. Содержание золота в пробах не превышало  $45$   $мг/м^3$  на массу, многие пробы оказались пустыми. В 1944 г. 10 майновых линий (по две-четыре майны в линии) были пройдены на участке от устья р. Утагли до россыпи «Косы Седло-Левобережной». Содержание золота в пробах также оказались непромываемыми (от 0 до  $159$   $мг/м^3$ ).

Три россыпи золота находятся по небольшим припокам Брянтты — рр. Утагли, Дубровинскому, Сиваки.

Россыпь по р. Утагли [71] наиболее крупная. Здесь добыто  $48,342$  кг золота, в том числе в 1908 г. —  $0,842$  кг, в 1929—1930 и 1934—1935 годах —  $12$  кг, в 1939—1940 гг. —  $35,5$  кг, найден самородок весом в 250 г. За время эксплуатации средняя содержание золота на пласт колеблется от  $2221$  до  $4422$   $мг/м^3$ , мощность пласта — от 0,6 до 1,0 м и мощность торфов — от 3,4 до 3,6 м. Считается возможной дальнейшая механическая золотодобыча, а также переработка.

Россыпь по р. Дубровинскому [72] разрабатывалась до 1928 г. В 1928—1929 гг. пройдено две линии шурфов, которые дали содержание золота от 563 до  $1190$   $мг/м^3$  на пласт мощностью 0,2—0,8 м. Мощность торфов 2,2—2,8 м. Россыпь по р. Сиваки [36] разрабатывалась в 1937—1938 гг. За это время было пройдено три линии шурфов. Содержание золота колеблется от 167 до  $1482$   $мг/м^3$  на пласт мощностью 0,2—1 м, или от 17 до  $365$   $мг/м^3$  на массу. Мощность торфов 1,2—2,6 м.

В долине р. Утаглай известно четыре россыпи золота.

Россыпь в нижнем течении [83] разведана в 1930 г. Впоследствии частично выработана при содержании золота до  $900$   $мг/м^3$  на пласт мощностью до 0,7 м. Ширина промышленной струи равна 15 м.

Россыпь в 47,5 км ниже р. Утанак [51] работалась хищниками в дореволюционное время. В 1930—1931 гг. пройдено четыре буровых линии по косе и семь шурфовых линий в напломненной террасе. В результате этих работ установлено, что россыпь представляет собой струю длиной 300 м и шириной 10 м. Запасы золота, составляющие 2,217 кг при среднем содержании  $1056$   $мг/м^3$  на пласт мощностью 0,75 м, впоследствии, вероятно, были выработаны.

Россыпь в 7,5 км ниже р. Утанак [22] до 1929 г. отработывалась хищниками. Разведками 1930 г. вылов по косе левого берега установлена золотонесная площадь длиной 150 м, шириной 10 м. Запасы достигают 1 кг при среднем содержании  $1056$   $мг/м^3$  на пласт мощностью 0,7 м. В 1931 г. против косы по руслу на отрезке в 1050 м были пройдены четыре буровые линии. Золото в большинстве проб отсутствует, некоторые пробы содержат до  $18$   $мг/м^3$  золота на массу.

Россыпь в 4,5 км ниже р. Утанак [23] на правобережной косе. Работами 1930 г. установлено, что она представляет собой струю длиной 500 м, шириной 10 м. Запасы золота равны  $3,696$  кг при среднем содержании  $1056$   $мг/м^3$  на пласт мощностью 0,7 м. Ранее россыпь работалась хищниками. В 1931 г. тремя буро-шурфовыми линиями установлено содержание золота в русле против косы до  $416$   $мг/м^3$  на массу.

В 1930 г. по руслу р. Утаглай на участке от  $54^{\circ}45'$  до  $54^{\circ}42'$  с. ш. было пройдено 47 майноватых линий. В большинстве отобранных проб золото отсутствует и лишь в редких пробах составляет  $0,5$ — $1,5$   $г/м^3$ . В 54 майноватых линиях, пройденных в том же году на участке  $54^{\circ}59'$ — $54^{\circ}48'$  с. ш., содержание золота в пробах оказалось еще меньшим — в основном «пусто», иногда 1—7  $мг/м^3$  на массу. В 1930—1931 гг. на участке  $54^{\circ}48'$ — $54^{\circ}44'$  с. ш. семь буро-шурфовых линий дали содержание золота до  $240$   $мг/м^3$  на массу.

По небольшим ручьям, припокам р. Утаглай известно шесть следующих россыпей.

Россыпь р. Банкачи — Салгырь [86] разведывалась в 1930—1931 гг. Пройдено девять шурфовых линий. Содержание золота в пласте колеблется от 170 до  $575$   $мг/м^3$ , местами достигая  $2,3$   $мг/м^3$ . Мощность пласта 0,6—3,2 м, мощность торфов 1,2—5 м.

Россыпь р. Банкачи [85] отработывалась до 1930 г. В 1931 г. пройдена одна линия шурфов. Содержание золота достигает  $580$   $мг/м^3$  на пласт мощностью 0,2—1,6 м.

Россыпь на водоразделе ручья Рубановского и Банкачи [84] — «Нагорная Марь» — разведывалась в 1931 г. Здесь пройдено две линии шурфов. Содержание золота не превышает  $51$   $мг/м^3$  на пласт мощностью 0,2 м.

Россыпь р. Камы [81], по данным работ 1930—1931 гг. (три шурфовые линии) характеризуется содержанием золота до  $68$   $мг/м^3$  на пласт мощностью 1,2 м.

Россыпь р. Рубановского [82] эксплуатировалась еще до 1907 г. После революции до 1930 г. золотопромышленником Михайловым добыто 9 кг золота. В 1930—1931 гг. приник, перешедший в ведение «Союззолота». Дал  $6,196$  кг золота. С 1939 по 1944 г. здесь на площади  $600 \times 60$  м добыто  $29,6$  кг золота при содержании его от 200 до  $3840$   $мг/м^3$  на пласт мощностью 0,8—1 м. Россыпь р. Михайловского [27] разрабатывалась в 1909—1911 гг. золотопромышленником Михайловым, а с 1916 г. и до революции — Недюновым. Разведочными работами 1930—1931 гг. (четыре линии шурфов) установлено содержание золота до  $453$   $мг/м^3$  на пласт.

По р. Дёсс семь косовых россыпей [57, 46, 45, 39, 37, 33, 30], в которых добыча золота производилась в 1910—1912 гг. золотопромышленником Липиным, хищниками и «вольными» старателями. Площади отработавшихся россыпей не превышали  $200 \times 20$  м при содержании золота до  $400$ — $500$   $мг/м^3$  на массу мощностью 0,2—0,6 м.

Россыпь «косы Левобережной» по р. Дёсс [32] отработывалась в 1930—1940 гг. при содержании золота до 1  $г/м^3$  на массу мощностью до 1 м.

В 1938 г. производилась паромная разведка долины р. Дёсс на участке 68—30 км от устья (пройдено 44 майноватые линии по 1—2 майны в каждой ли-

нии), в результате которой выявлены следующие четыре аллювиально-русло-

вые россыли золота.

Россыль в 19—50,5 км от устья [15] имеет протяженность около 12 км. Запасы золота 52,5 кг при содержании 438 мг/м<sup>3</sup> на массу мощностью 0,87 м. Россыль в 30 км от устья [41] представляет собой струю длиной не более 0,8 км. Запасы золота 12,5 кг. Содержание 370 мг/м<sup>3</sup> на массу мощностью 1 м. Россыль в 60 км от устья [8] протяженностью 1 км имеет запасы золота 5,8 кг при содержании 245 мг/м<sup>3</sup> на массу мощностью 0,75 м.

Россыль в 58 км от устья [12] имеет длину 0,8 км. Запасы золота равны 1,7 кг при содержании 335 мг/м<sup>3</sup> на массу мощностью 0,55 м.

На 30-километровом участке нижнего течения р. Десс в 1939 г. было пройдено 33 майновы линии; золото в русле в основном отсутствует и лишь иногда содержится в количестве до 82 мг/м<sup>3</sup> на массу.

Россыль по р. Ильдеус [14] — наиболее крупному притоку р. Десс — считается выработанным золотопромышленником Лапным в дореволюционное время. Содержание золота в россыли колебалось от 972 до 6348 мг/м<sup>3</sup> на пласт мощностью 0,4—1 м. Последующие разведки — в 1928—1929, 1935—1936, 1940—1941 гг. промышленными результатами не дали. Судя по ним, содержание золота в долине р. Ильдеус не превышает 64 мг/м<sup>3</sup>, лишь иногда достигая 164 мг/м<sup>3</sup> на массу.

В бассейне р. Прав. Кохани известны две сравнительно крупные россыли, разрабатывавшиеся в прежние времена — в долине р. Прав. Кохани и по р. Чер-чер-стому [64] и по нижнему левому притоку р. Голгачи [60].

Россыль по р. Прав. Кохани [63] разведывалась в 1903 г. Моготским товариществом (Попов, Львов). В 1904—1905 гг. золотопромышленником Поповым было добыто 5,6 кг золота при содержании его от 2 до 15 мг/м<sup>3</sup>, мощности песков до 0,8 м и торфов до 2,5—3 м. Разведкой 1940—1941 гг. установлено, что россыль имеет длину до 3,5 км, запасы золота равны 53,3 кг при среднем содержании 1480 мг/м<sup>3</sup> на пласт мощностью 0,44 м и средней мощности торфов 3,76 м.

Россыль по р. Черкес [61] — бывшему кт. Матвеевскому — начала разрабатываться в 90-х гг. прошлого столетия золотопромышленником Сорокиным. С 1903 по 1920 г. разрабатывалась различными лицами. Известно, что в 1900—1901 гг. и с 1904 по 1910 г. здесь добыто 49,305 кг золота при среднем содержании 1167—2604 кг на 1 т породы, мощности песков 0,5—1,8 м, торфов 1,8—3,2 м. Россыль считается выработанной. В 1928—1929 гг. пройдено шесть линий шурфов, которыми установлено, что содержание золота не превышает 170 мг/м<sup>3</sup> на массу.

Россыль по р. Бульбугакта [77], относящемуся к бассейну р. Унахи, до 1928 г. обрабатывалась справа от русла на протяжении 250 м, в 1928—1931 гг. разрабатывалась одной шурфовой и шестью буровыми линиями. В 1931 г. здесь добыто 0,358 кг золота при содержании до 7473 мг/м<sup>3</sup> на пласт.

Шлиховые пробы с золотом, отобранные при геологической съемке в 1951 и 1959—1961 гг., распределены на территории листа более или менее равномерно. Содержание золота в них колеблется от 1 до 12 зерен, размеры зерен — от 0,03 до 3 мм. В большинстве случаев золото представлено тонкими слабо окатанными пластинками, реже — неправильными зернами.

#### РЕДКИЕ МЕТАЛЛЫ

##### Олово

Олово в районе обнаружено только спектрометаллометрическим методом. Как в донных, так и в делювиальных пробах оно встречается редко, обычно в количестве до 0,001%, иногда в разрозненных пробах содержание олова увеличивается до 0,006—0,008%. Более высокие содержания в кучно расположенных донных пробах позволили выделить небольшой поток рассеяния олова.

Поток рассеяния в истоках р. Октагли [89], Повышенные содержания оло-

ва фиксируются в 10 пробах, отобранных через 120 м, из них 0,01% олова установлено в трех пробах, 0,02% — в двух, 0,03% — в трех, 0,06 и 0,3% — в двух. Поток рассеяния расположен в центральной части крупного массива раннемоловых биотит-роговообманковых гранитов, прованных множеством мелких тел лейкоквартовых гранитов. С последними, вероятно, и связано проявление олова.

##### Вольфрам

Присутствие на территории листа шеелита выявлено шлиховым методом. Шеелит обнаружен в 80 шлихах, основная часть которых образует в бассейне кт. Утанак четко выделяющийся ореол рассеяния. В бассейнах других рек редкие шлихи содержат от 1 до 10 зерен шеелита.

Ореол рассеяния в бассейне кт. Утанак [25] представлен 54 шлихами с содержанием в них шеелита от 15 до 150 зерен. Ореол находится на площади развития преимущественно гранат-биотитовых гнейсов тульской свиты. Шеелит, возможно, выносится из золотосодержащих кварцевых жил.

##### Молибден

Проявления молибдена установлены в районе минералогическим и спектральным анализом пяти штурфных проб, а также металлотермическим опробованием донных осадков и делювия. Единичные зерна молибденита обнаружены в двух шлихах, отобранных по рр. Брянка и Утугай. В подавляющем большинстве спектрометаллометрических проб как донных, так и делювиальных, молибден отсутствует, в некоторых разрозненных пробах содержание его колеблется от 0,0001 до 0,001%.

Проявление в левом борту р. Утугай [49] расположено на контакте биотитовых гнейсов с жидкой гранита. Вблизи контакта гнейсы милонитизированы. Мощность зоны милонитизации 20 см. В штурфной пробе (весом 0,27 кг) из этой зоны обнаружено 46 зерен молибденита.

Проявление в правом борту р. Утугай [26]. Единичные зерна молибденита выявлены в штурфной пробе окварцованных габброидов минералогическим анализом, отобранной в зоне дробления мощностью до 50 м.

Проявление в правом борту р. Мульмути [70]. В штурфной пробе дальнооборванного роговообманкового гнейса, отобранной вблизи контакта с крупной интрузией раннемоловых гранодиоритов, установлены зерна молибденита.

Проявление в среднем течении р. Лев. Кохани. В делювиальных обломках катаклазированных метаморфизованных габброидов минералогическим анализом обнаружены единичные зерна молибденита. Проба отобрана вблизи контакта габброидов с покровом раннемоловых порфиритов.

Проявление в левом борту р. Утугай [53] связано с зоной дробления и хлоритизации в раннепротерозойских гранитоидах. Содержание молибдена в зоне дробления составляет 0,001—0,01%, меди 0,01—0,1%.

Поток рассеяния на левобережье р. Тутага [54] характеризуется присутствием молибденита в количестве 0,001% (15 проб) и 0,002% (четыре пробы). Пространственно и, очевидно, генетически этот поток рассеяния связан с раннемоловыми гранодиоритами, прорывающимися здесь метаморфизованные габброиды.

##### Лантан и церий

Минералы, содержащие эти редкие металлы (монанит и ортит) обнаружены в количестве единичных зерен в незначительной части шлихов, но во всех частях района более или менее равномерно. Донные пробы с повышенным содержанием лантана и церия приурочены к юго-восточной части района. Там они образуют несколько потоков рассеяния.

Поток рассеяния по кт. Баралуэ [88] характеризуется присутствием лантана в пробах в количестве 0,01% (одна проба), 0,03% (две), 0,06% (семь), 0,1% (восемь), 0,2% (четыре), 0,3% (одна проба), церия — в количестве 0,03% (три пробы) и 0,1% (двенадцать проб). Участок сложен раннемоловыми гранитоидами, с акцессорными минералами которых (монацитом или ортитом), очевидно, связаны повышенные содержания в пробах лантана и церия.

В потоке рассеяния по кт. Мутаг и в истоках р. Кавакта [80] содержания лантана равны 0,01 (девять проб), 0,02 (три), 0,03 (три пробы), церия — 0,1% (две пробы). На этом участке развиты главным образом раннепротерозойские гранитоиды, прорванные небольшими телами раннемоловых лейкократовых гранитов.

Поток рассеяния на левобережье р. Прав. Кохани [87] фиксируется данными пробами, содержащими лантан в количестве 0,01% (шесть проб), 0,02 (одна), 0,03% (одна проба) и церия — в количестве 0,03% (одна проба) и 0,1% (две пробы). Участок сложен раннемоловыми гранитоидами.

### Торит

Торит обнаружен в 78 шликерных пробах, отобранных в юго-восточной части днста. Подавляющее большинство этих проб концентрируется в бассейнах двух ключей, образуя крупный ореол рассеяния торита.

Ореол рассеяния в бассейне ключей Улягир и Нагды-Октаги [90]. В пределах района торит встречается почти во всех шликерах в количестве от единичных зерен (37 шликер) до весового содержания (17 проб). Ореол расположен в поле развития крупной интрузии раннемоловых гранодиоритов и прорванных множественным мелкими тел лейкократовых гранитов. Торит является, очевидно, акцессорным минералом в этих гранитоидах.

### Ртуть

Киновар обнаружена в единичных разрозненных шликерах, отобранных по рр. Ильдигу, Дёссу и Брянте, в количестве 1—3 зерен. Какой-либо закономерности в их распределении по площади не наблюдается.

## НЕРУДНЫЕ ПОЛЕЗНЫЕ ИСКОПАЕМЫЕ

### Горный хрусталь

Проявление горного хрусталя обнаружено на левом берегу р. Утугай [52]. Здесь в нескольких крупных дельтовидных глыбах сильно измененных, окварцованных раннемоловых гранитов наблюдаются друзы горного хрусталя, выходящие многочисленными пустотами, размером до  $2 \times 3$  см и трещины шириной 2—3 см. Кристаллы горного хрусталя имеют правильную кристаллографическую форму, небольшие размеры (до 1,5 см в длину). Обычно они прозрачные, бесцветные или окрашенные в золотисто-желтый цвет.

### Флюорит

Флюоритовая минерализация установлена в левом борту р. Утугай [52]. Она приурочена к зоне дробления мощностью 15 м в даке гранодиорит-порфира. Многочисленные трещины шириной до 2—3 см выложены молочно-белым кварцем и мелкими (до 2—3 мм в поперечнике) кристаллами флюорита бледно-зеленого и бледно-зеленого цветов.

### Барит

Барит в количестве до 100 зерен выявлен в штуфной пробе катаклазированной перматита, отобранной на правом берегу р. Утугай [28] и в обломках гранитизированных и катаклазированных габроидов, обнаруженных на правом берегу р. Прав. Кохани [52].

## Слюда-мусковит

Жилы раннепротерозойских мусковитовых перматитов иньекционно-метаситического генезиса широко развиты на территории днста, но они, как правило, имеют незначительную мощность и содержат чешуйки слюды небольшого размера. Жилы мощностью до 2—5 м, содержащие кристаллы мусковита размером до  $3 \times 4$  см, встречаются сравнительно редко.

В верхнем течении р. Брянты перматитовые жилы образуют поле [21] размером  $4 \times 1,5$  км, вытянутое в широтном направлении. В пределах поля находят не менее ста жил, вмещающими породами являются метаморфизованные габроиды и биотитовые гнейсы. Промышленные жилы единичны. Они, как правило, секущие, имеют мощность от 2 до 7 м. Падают они преимущественно на север под углами  $40-50^\circ$ . Наиболее мощные жилы характеризуются зональным строением. Преобладает блоковая структура, меньше развиты перматонная и аллитовая структуры. Жилы сложены главным образом крупными (до 12 см) кристаллами микроглина (до 70%), молочно-белого кварца (15—20%). Мусковит присутствует в количестве до 15% в виде пачек толщиной до 2—5 см, размером до  $15 \times 15$  см. Кристаллы мусковита бесцветные, без видимых минеральных включений, легко расщепляются на тонкие гибкие пластинки. Местами наблюдается слабая волнистость некоторых пачек слюды.

Перматитовые жилы аналогичного строения, мощностью до 2—3 м с пластинками мусковита до 2—3 см в поперечнике встречаются и в других местах р. Брянты [проявление № 10, 31, 40].

В левом борту р. Утугай биотитовые гнейсы содержат жилу мусковитового перматита мощностью 5 м (проявление № 50). Димит падения жилы  $65^\circ$ ,  $\angle 60^\circ$ . Перматит крупноблочный, пластинки мусковита размером до  $3 \times 4$  см образуют пачки толщиной до 4 см. Содержание мусковита достигает 10% объема породы.

Таким образом, можно видеть генетическую связь большинства проявлений с определенными породами, образовавшимися в определенные эпохи тектогенеза. Проявления железа и титана связаны главным образом с раннепротерозойскими метаморфизованными габроидами, частично — с паратрипсидами. Прокисление их по-видимому, различное — магматическое, автометаморфическое, инфильтрационно-метасоматическое (связанное с переконцентрацией железа и титана в процессе мигматизации).

Никель, кобальт и хром приурочены к раннепротерозойским ультрабаазитам. Проявления мусковита находятся в жилах раннепротерозойских перматитов. С гранитоидами раннемоловых тектоно-магматического цикла непосредственно или пространственно связаны проявления свинца, олова, молибдена, горного хрусталя, флюорита. В раннепротерозойскую и раннемоловую эпохи происходило образование минералов, содержащих лантан, церий и торий, но повышенные содержания редких земель и тория зафиксированы на участках развития раннемоловых гранитоидов.

Проблема коренных источников и возраста золота на территории днста, как и в Становой области в целом, не решена окончательно. Еще в 1933 г. Д. С. Коржинский пришел к выводу о связи основной массы золота в Становой области с диафторитами, образовавшимися в результате пневматолитогидротермальной деятельности древнестановых гранитоидов. В. С. Соболев тогда же высказал мысль о существовании значительной золотой минерализации, связанной с мезозойским тектоно-магматическим циклом. Существование мезозойской золотоносной эпохи, кроме протерозойской, было подтверждено М. И. Ицксонем (1955). В настоящее время некоторые геологи (Казмин и др., 1962) золотосносность, связанную с раннепротерозойской эпохой, считают проблематичной. Многие исследователи рассматриваемого района (П. В. Риппас, Э. Э. Анерт, Б. А. Сыропатов, З. А. Самоделок, П. А. Сушков) предполагают связь золота с зонами окварцевания, перматит-аллитам и амфиболитами. П. А. Сушков, основываясь на данных пробного-диоритовых порфиритов, связывает золото с дайками мезозойских кварцевых порфиритов. Обпробование на золото многих зон окварцевания и пиритизации в процессе последующих геологосъемочных работ не дало положительных результатов.

Однако, учитывая данные П. А. Сушкова, пространственную приуроченность наиболее крупных россыпей золота к региональным субширотным разломам, контролирующимся зонами дробления и пиритизации, а также расположенные эти россыпи вблизи интрузий раннеплейстоценовых гранитоидов, можно присоединиться к мнению Ю. Б. Казмина и др. (1962) о том, что в Британском золотом поясе (куда входит, очевидно, весь рассматриваемый район) россыпи образуются своим происхождением главным образом золотому оруденению пид-рогматического генезиса мезозойской эпохи, проявляющемуся в зонах дробления и пиритизации. Отсутствие золота в большинстве проб из этих зон можно считать за счет недостаточного детального опробования их и, возможно, за счет недостаточной точности анализов. Пространственная приуроченность россыпей россыпей золота к раннепротерозойским образованиям может быть объяснена тем, что последние являлись лишь благоприятной вмещающей средой для локализации мезозойского оруденения.

Практическое значение на территории листа могут иметь никель, мусковит, давно установлено промышленное значение золота.

Наиболее перспективными в отношении никеленосности являются участки в верхнем течении р. Брянтя, где в ультрабазитах выявлены вкрапленные сульфидные руды ливинионно-магнетитового типа с содержанием сульфидов до 10% и промышленным содержанием никеля (до 0,3%). Наличие на этих участках промышленных концентраций никеля вполне вероятно. Наибольшие поисковые работы проведены на массивах ультрабазитов между речьями Индее — Брянта и бассейна р. Утанак. Учитывая то, что на этих площадях установлены ореолы рассеяния никеля с таким же содержанием никеля, как и в верхнем течении р. Брянтя, они заслуживают тщательного опробования. Из проявлений мусковита наибольший интерес представляет поле слоюдосных пегматитов в верхнем течении р. Брянтя, где в жилах мощностью до 2—7 м мусковит содержится в количестве до 15% в виде пластин до 15 см в поперечнике. Это поле входит в Зейско-Нижинскую пегматитовую зону, на необходимость изучения которой обратил внимание В. А. Махинин (1962). Учитывая возможность обнаружения в северо-западной части района промисленных месторождений никеля и мусковита, эта площадь рекомендуется для постановки поисковых работ м-ба 1:50 000.

Как уже отмечалось, основное золотое оруденение на территории листа приурочено, очевидно, к зонам дробления и пиритизации. Коренные проявления такого типа наза неравномерности распределения и незащитительного содержания золота, имеют значение лишь как источники небольших промышленных концентраций россыпного золота. Реки Брянта, Утуйай, Десс и их притоки в 30-х годах были довольно детально описаны, поэтому обнаружение в них долинах новых россыпей золота маловероятно. Почти не разведывались долины рр. Лев и Прав. Кохани. Вместе с тем в местах пересечения этими реками крупных зон расщеливания, катаклаза и разломов (в нижнем течении р. Прав. Кохани и в среднем и верхнем течении р. Лев. Кохани) во многих шпихлах обнаружено золото, благоприятны геоморфологические условия; поэтому на этих участках долин рекомендуются поиски россыпей золота.

Район в целом перспективными на возможность обнаружения в нем интрузивных проявлений титана (в виде россыпей ильменита), редких земель и тория (в виде россыпей монацита). Не исключена возможность обнаружения месторождений торита в пневматолито-гидротермальных жильных образованиях раннеплейстоценовых лейкократовых гранитов, широко развитых в пределах ореола рассеяния этого минерала. Геологическая обстановка района (обилие основных пород, тесно ассоциирующих с гранитоидами) очень благоприятна для накопления в продуктах пневматолито-гидротермальной переработки осадочных пород скандия (содержание скандия в метаморфизованных габброидах местами в десять раз превышает кларковую).

Поиски же этих металлов рекомендуются лишь в комплексе с поисковыми работами на более перспективные полевые ископаемые (россыпи золота, никель, мусковит).

Многочисленны на территории листа проявления железа. Наиболее крупные из них (лизна магнетитовой руды мощностью до 4 м, длиной 12 м, с со-

держанием железа до 35%) на аэромагнитной карте соответствует аномалии в 1000 γ. Учитывая то, что на территории района максимальная напряженность магнитного поля равна 3000 γ, а на территории листа N-52-X месторождение магнетитовой руды с запасами в 1168 млн. т, соответствующее аномалии в 19500 γ, в настоящее время промышленного значения не имеет (Сысоев, Югай, 1961), обнаружение промышленных месторождений железа в данном районе можно считать мало вероятным.

Геологическое строение территории листа позволяет признать ее в целом перспективной на молибден несмотря на то, что промышленно интересных проявлений его еще не обнаружено.

Проявления других полевых ископаемых (свинца, олова, меди, горный хрусталь, флюорит), приуроченные к зонам трещиноватости и дробления, также незначительны.

По имеющимся материалам, территория листа не представляется первоочередной для поисков этих полевых ископаемых.

## ПОДЗЕМНЫЕ ВОДЫ

Территория листа входит в горно-складчатую гидрогеологическую область хр. Станового, расположенную в зоне вечной мерзлоты с таликами, в которой на глубине 10—15 м температура грунта колеблется от 5 до —1,5° С. Гидрогеологические условия района поэтому весьма своеобразны: для него характерны подземные воды, связанные с вечной мерзлотой — надмерзлотные, межмерзлотные и подмерзлотные. Из них непосредственному наблюдению на дневной поверхности доступны только надмерзлотные воды. Судить же об условиях залегания, режиме и качестве межмерзлотных и подмерзлотных вод без глубоких горных выработок невозможно.

Надмерзлотные воды широко распространены в пределах деятельного слоя рыхлых отложений речных террас, аллювиально-делювиальных образований водораздельных пространных, кроме того, они заключены в трещинах изверженных и метаморфических пород. Мощность деятельного слоя изменяется в зависимости от экспозиции склонов: на южных склонах и, очевидно, под русловыми потоками крупных рек она достигает 2—3 м, на северных склонах и в заболоченных долинах — не превышает 0,5 м. Таким образом, по условиям залегания надмерзлотные воды района могут быть разделены на грунтовые воды аллювиальных отложений речных долин, элювиально-делювиальных образований склонов и водоразделов, а также трещинные воды массивов изверженных и метаморфических пород.

Воды аллювиальных отложений распространены главным образом в пойменных отложениях рек и ручьев, меньше — в напойменных террасах. Песчано-галечниковый состав террасовых отложений, почти полное отсутствие в их составе глинных прослоев и глин способствуют инфильтрации атмосферных осадков и увеличению запасов подземных вод в дождливые периоды лета. Володуторный ложом для грунтовых вод террасовых отложений служат породы пологой террас, а также слои вечномерзлотных пород. На поверхности или в участках террас встречается иногда родники с дебитом 0,3—0,5 л/сек. Воды элювиально-делювиальных образований склонов и водоразделов залегают на вечно мерзлых породах. Главным источником их питания являются атмосферные осадки. Дебиты родников, выходящих в пределах развития элювиально-делювиальных образований, незначительны, порядка сотых, реже десятых долей литра в секунду, качество воды хорошее.

Трещинные воды изверженных и метаморфических пород тесно связаны с системами сопряженных трещин различного происхождения (эндо- и экзогенных). Часть этих вод, приуроченная к трещинам отдельностей выветривания и залегающая на небольшой глубине, относится к категории надмерзлотных. Эти воды участвуют в питании поверхностных водотоков в летнее время; дебиты их незначительны (до 1 л/сек). Воды, циркулирующие по трещинам глубокого заложения и многочисленными зонам тектонических нарушений, род-

ники которых выходят в береговых обрывах высотой 20—25 м, возможно, являются межмерзлотными или полмерзлотными.

Режим надмерзлотных вод тесно связан с ходом сезонного промерзания и оттаивания грунтов. Водообильность их зависит от количества выпадающих атмосферных осадков. Несмотря на то, что район хорошо дренируется довольно глубоко врезанными долинами крупных рек, после весеннего снеготаяния и в конце лета в период продолжительных дождей и максимального оттаивания почвы инфильтрация превышает подземный сток, что приводит к повышению уровня вод, заболачиванию речных долин, склонов, а иногда и водоразделов. Летом надмерзлотные воды неапорные, зимой при промерзании торных пород в водах возникает напор, способствующий образованию в некоторых местах буров вспучивания (в долинах р. Дёсс, руч. Амнучачи, Намичи), трещины на поверхности земли и сезонных наделей мощностью до 1 м, наблюдающихся по долине др. Лев. и Прав. Кохани, ручьяв Ильдеус, Уганак, Подежский, Намичи и др. К середине кону июля надели обычно растаивают. С деятельностью надмерзлотных вод связаны солифлюкционные явления, ведущие к образованию характерных ступенчатых склонов с высотой 0,5—1 м, редко 1,5 м и шириной до 30—50 м.

По своим особенностям надмерзлотные воды пресные, без цвета и запаха, обладают хорошими вкусовыми качествами. Но они несут сезонный характер, так как в условиях холодной и малоснежной зимы сезонная мерзлота почти везде, за исключением отдельных таликов, сменяется с многолетней мерзлотой; водообильность этого типа вод небольшая, поэтому они не могут служить для целей крупного круглогодичного водоснабжения. Более обильными и сильнее постоянными дебитами должны быть межмерзлотные и полмерзлотные воды, приуроченные к зонам крупных тектонических нарушений, широко развитых в районе. Однако какие-либо фактические данные об этом отсутствуют.

## ЛИТЕРАТУРА

### Очубликова Анна

Айнберг Л. Ф. К проблеме петрологии кристаллического докембрия Южно-Енисейского кража. Бюлл. Моск. об-ва испыт. природы, отд. геол. 36, № 5, 1959.

Анерт Э. Э. Маршрутные исследования в западной части бассейна реки Зен. Геологические исследования в золотоносных областях Сибири. Амурско-Приморский золотоносный район, вып. X 1910.

Билибин Ю. А. Основы геологии россиен, 1956.

Блисковский В. З., Юдович Д. Э. О генезисе амфиболитов центральной части хр. Тасхатах. Мат-лы по геол. и полгеол. ископ. Якутской АССР, вып. IV, 1961.

Виноградов А. П., Тугаринов А. И. О возрасте пематитов Станового комплекса. «Геохимия», 1960, № 5.

Гиммельфарб Г. В., Калганов Е. Н., Федоров Е. Е. Геологическая карта СССР м-ба 1:200 000, сер. Становая, лист № 52-III, 1963.

Дзевановский Ю. К. Геология западной окраины Станового хребта. Вдп. ВСЕГЕИ, 1958, № 1.

Дзевановский Ю. К. Мезозойские гранитоиды хр. Станового и их структурное положение. Инф. сб. ВСЕГЕИ, № 7, 1959.

Дзевановский Ю. К., Джуджуров-Становой складчатая область. В кн. «Геологическое строение СССР», т. 3, 1958.

Дзевановский Ю. К., Судовиков Н. Г. Докембрий Алданского шита и хребта Станового. МГК, XXI сессия, докл. советских геологов, программа IX, АН СССР, 1960.

Другтова Г. М., Неелов А. Н. Полиметаморфические докембрийские обраования южной части Алданского шита и Станового хребта. Тр. ДАГЕД, вып. 11, 1960.

Кад А. Г., Бородин В. А. Геологическая карта СССР м-ба 1:200 000, сер. Становая, лист № 52-1, 1963.

Косутай А. Основные породы на севере пнейского поля центральной части метаморфической зоны Хита (во взаимоотношениях с метаморфизмом и гранитизацией). Рефер. журн. «Геология», 1961, № 6, реферат № 65 365.

Коржинский Д. С. Пересечение Станового хребта по Амуро-Якутской магистральной и его геологические комплексы. Тр. ВНИГРИ, вып. 41, 1935.

Красный Л. И. Основные вопросы тектоники Хабаровского края и Амурской области. Ленинград, 1960.

Красный Л. И., Кириков Д. А., Мошкин В. Н., Нагибина М. С., Сей И. И. Государственная геологическая карта СССР м-ба 1:1 000 000, лист № 52, Зев, 1960.

Красный Л. И., Юрские и меловые гранитоиды в хребтах Становом, Джуджуре, Прибрежном и вопросы магматизма в нескладчатых областях. Изв. Вых. уч. завед., отд. геол. и разв., 1960, № 3.

Лебедев В. И. Процессы изменения основных пород (в связи с проблемами гранитизации). Вестник ДГУ, 1955, № 4.

Матес, Крмер. Амфиболиты и роговообманковые гнейсы средней части кристаллических пород Пред-Шибсарта и их петрогенетическое положение. Рефер. журн. «Геология», 1956, № 3, реферат № 2920.

Махинин В. А. Мусковитовая минерализация в пематитах Станового хребта. «Советская геология», 1962, № 5.

Морковкина В. Ф. Об особенностях метаморфического габбро. В сб. «Марматизм и связь с ним полевых ископаемых». Гостеогеологиздат, 1960.

Мошкин В. Н., Альбов Ю. А. Основные черты мезозойского интрузивного магматизма восточной части Станового. Инф. сб. ВСЕГЕИ, № 17, 1959.

Нагибина М. С., Богловитина Н. А. Стратиграфия мезозойских отложений верхнеэврейского прогиба. Изв. АН СССР, сер. геол., № 1, 1960.

Расказов Ю. П. Стратиграфия докембрия хр. Тугрунгары. Совет. по разраб. стратигр. схем Забайкалья (тезисы докладов). Ленинград, 1961.

Риплас П. В. Геологическая карта Зейского золотоносного района. Описание листа Ш-2, 1900.

Семеновко Н. П. Вулканизм и метаморфизм украинского кристаллического массива. Задача дальнейшего изучения вулканизма и метаморфизма. В кн. «Геология СССР», т. 5, ч. 1, 1958.

Синха. О явлениях калиевого метасоматоза в роговообманковых сланцах района Бархакана, округ Хазарибат, штат Бихар, Индия. Рефер. журн. «Геология», 1960, № 12, реферат № 26680.

Судовиков Н. Г. Тектоника, магматизм, мипматизация и гранитизация пород Ладжской формации. Тр. ДАГЕД, вып. 4, 1954.

Судовиков Н. Г. Ультраметаморфизм и гранитообразование. Вестн. ДГУ, 1959, № 6.

Судовиков Н. Г., Неелов А. Н. О возрасте Станового комплекса. Тр. ДАГЕД, вып. 12, 1961.

Федоровский В. С., Малостовский Э. М. Геологическая карта СССР м-ба 1:200 000, серия Становая, лист № 52-XIV, 1961.

Харме. Примеры гранитизации плутонических пород. Рефер. журн. «Геология», 1959, № 10, реферат № 20948.

Чемков Ю. Ф. Геоморфология и верхнеэврейские отложения Верхне-Зейской депрессии. В сб. Мат-лы ВСЕГЕИ, нов. сер., 1957, вып. 2.

Шиханов В. В. Геологическая карта СССР м-ба 1:200 000, серия Джуджурская, лист № 53-III, 1962.

Шоу. Некоторые рекомендации относительно номенклатуры метаморфических пород. Рефер. журн. «Геология», 1960, № 11, реферат № 23468.

Энел. Прогрессивный метаморфизм амфиболитов, северо-западная часть Адриантанских гор, Нью-Йорк. Рефер. журн. «Геология», 1959, № 11, реферат № 23250.

### Фондова Я

Глуховский М. З., Михайлов Б. А. Геологическое строение и полевые ископаемые бассейнов рек Ниж. Джалинда, Вол. Даурка и верхневьев

Р. Брянты. Лист N-52-II. Отчет о работе партий № 2 и № 3 за 1961 г., 1962. Зубков В. Ф. Геологическое строение бассейнов рек Мульмуги, Муль-Мулакана, Кохани и верховьев рек Утугай и Брянты (Мульмугинская геологическая партия № 523, 1953, 1954. Игнатъев Г. Г., Флиженко В. В. и др. Отчет об аэропоисковых и наземных работах, проведенных партией № 16 в 1959 г. в северной части Амурской области.

Идикусон М. И. Общие черты эндогенной металлогении Приамурья и сопредельных частей Дальнего Востока, 1955.

Казмин Ю. В., Кричевец В. И., Носова О. М. Объяснительная записка к сводной геоморфологической карте и карте золотоносности района Станового хребта м-ба 1:500 000. Листы О-51-XXXXI-XXXXVI, N-50-VI, N-51-VI, N-52-I-VI, партия № 11, экзп. № 8, ВАГТ, 1962.

Кал А. Г. и др. Геологическое строение и полезные ископаемые области Станового хребта в пределах верхних течений рек Сутам, Галюй и Унахи. (Отчет о работе партии № 1 ВАГТ за 1961 г.), 1962.

Красный Л. И., Чемяков Ю. Ф. Геология, геоморфология и полезные ископаемые юго-западной части Прибрежного хребта (Отчет о геологическом исследовании юго-западной части Прибрежного хребта (Отчет о геологических работах в м-бе 1:200 000 и 1:100 000 на листе N-53 в 1961 г.), 1962.

Кудинков В. А., Храмов М. В. Отчет по поисковым работам на никель, проведенным в 1962 г. в Зейском районе Амурской области (Луганская партия), 1963.

Левченко В. А. Отчет Брянтинской геологосъемочной партии № 345 о геологических исследованиях в средней и нижней частях бассейна рек Брянта, Унаха и Утугай в 1951 г., 1952.

Марченко Г. Г., Мошкин В. Н., Заморув В. В. Геологическое строение и полезные ископаемые междуручья Тока и Зен (Отчет о работах Токской партии в 1957 г.), 1958.

Махилин В. А., Печинская Г. А. Объяснительная записка к карте редкометалльных пегматитовых полей Дальнего Востока м-ба 1:2 500 000 (листы О-51, О-53, N-51, N-52, N-53, N-54, M-53), Верхне-Зейская тематическая партия, 1959, 1960.

Минеев Е. В. Отчет о геологических исследованиях в бассейне верхнего течения р. Брянты и среднего течения р. Десс, произведенных Брянтинской партией № 505 № 1953, 1954.

Мошкин В. Н. Докладный отчет о восточной части хр. Станового и южной части хр. Джугджур (кандид. диссерт.), 1962.

Мошкин В. Н., Альбов Ю. А., Борисов В. М., Заморув В. В. Геологическое строение и полезные ископаемые р. Улахын и бассейна верхнего течения р. Май-Подовинной, 1956.

Нестеренко С. П., Фадеев В. А., Пивченко Н. П., Хрушинский Л. А., Щербак Л. И. Отчет о комплексной геологической съемке в северо-западной части листа N-52-VIII (Брянтинская партия, 1959), 1960. Нестеренко С. П. Геологическое строение и полезные ископаемые восточной части листа N-52-VIII (Отчет о работах Брянтинской партии в 1960 г.), 1961.

Расказов Ю. П. Геологическое строение юго-восточной части листа N-52-XIX (Усть-Урянская партия, 1958), 1959.

Самоделько З. А. Отчет о работах Брянтинской геологосъемочной партии прииска Дамбуки в районе бассейна рек Брянты и Утугай, 1941.

Подолгетов О. Н. Геологическое строение и полезные ископаемые юго-западной части листа N-52-IX (Отчет о результатах работ Мульмугинской партии за 1961 г.), Хабаровск, 1962.

Самусин А. И., Самусина С. Н. Отчет о редакционно-уязвочных маршрутах м-ба 1:200 000 поисковых и тематических работ Соловьевской партии за 1960 г. (лист N-51-XVII), 1961.

Скатынский Ю. П. Геологическое строение и полезные ископаемые северо-восточной и центральной частей листа N-52-XIII, 1961.

Сущков П. А. Предварительный отчет Брянтинской геологосъемочной партии Амурской экспедиции за 1946 г., 1947.

Сырлятов В. А. Отчет о проверке заявки на золото на р. Ср. Кохани, 1941.

Сысоев В. А., Югай Т. А. Отчет о результатах геологосъемочных работ на железу, проведенных в бассейне рек Тока, Сивакана, Суджара (Токская поисковая партия, 1960), 1961.

Фадеев В. А., Нестеренко С. П. Отчет о геологической съемке и редакционно-уязвочных работах в западной части листа N-52-VIII (Брянтинская партия, 1961), 1962.

Щека С. А., Зинин С. С. Материалы по никеленосности габбро-дунитовой формации Станового хребта. Инф. отчет по работам 1960—1962 гг. ДГИСО ДВФ АН СССР. Владивосток, 1963.

**ПРИЛОЖЕНИЕ 1**  
**СПИСОК МАТЕРИАЛОВ, ИСПОЛЬЗОВАННЫХ ДЛЯ СОСТАВЛЕНИЯ**  
**КАРТЫ ПОЛЕЗНЫХ ИСКОПАЕМЫХ ЛИСТА N-52-VIII**

№ п/п	Фамилия и инициалы автора	Название работы	Год составления или издания	Местонахождение материала, его фондовый номер или место издания
1		Кадастры россыпных месторождений золота за 1944—1947 гг.	1948	Фонды треста «Амурзолот», г. Свободный
2		Материалы ГРО прииска Дамбуки	1960	То же
3	Зубков В. Ф., Минеев Е. В., Онопrienко М. С.	Отчет по поисково-разведочным работам Вершининской партии № 438 за 1952 г.	1953	Фонды ДВГУ, № 04036, г. Хабаровск
4	Зубков В. Ф.	Геологическое строение бассейна рек Мульмуги, Мульмугакан, Кохани, верховья рек Утугай и Брянты (Мульмугинская геолого-съемочная партия № 523, 1953 г.)		Там же, № 04379
5	Кулинов В. А., Храпцов М. В.	Отчет по поисковым работам на никель, проведённым в 1962 г. в Зейском районе Амурской области (Тучанская партия)	1963	Там же
6	Левченко В. А.	Отчет Брянтинской геологосъемочной партии № 345 о геологических исследованиях в средней и нижней части бассейна рек Брянта, Унаха и Утугай в 1951 г.	1952	Там же, № 3767
7	Левкин Н. Ф.	Геолого-историко-экономическое описание объектов добычи и разведки россыпного золота, расположенных на территории западной (центральной) части Дамбукинского прииска треста «АМУРЗОЛОТО»	1947	Там же, фонд № 06483
8	Махнин В. А., Печинская Г. А.	Объяснительная записка к карте редкометаллических петмагитовых полей Дальнего Востока м-ба 1:2500 000 (листы О-51, О-53, N-51, N-52, N-53, N-54, М-52, М-53 и М-52 (Верхне-Зейская тематическая партия, 1959 г.)	1960	Фонды ДВГУ г. Хабаровск № 8264
9	Минеев Е. В.	Отчет о геологопоисковых исследованиях в бассейне верхнего течения р. Брянты и среднего течения р. Десс, произошедших Брянтинской партией № 505 в 1953 г.	1954	Там же, № 4347
10	Нестеренко С. П., Фадеев В. А., Пивченко Н. П., Хрушинский Л. А., Щербак Л. И.	Отчет о комплексной геологической съемке в северо-западной части листа N-52-VIII (Брянтинская партия, 1959 г.)	1960	Там же, № 08418
11	Нестеренко С. П.	Геологическое строение и полезные ископаемые восточной части листа N-52-VIII (отчет о работах Брянтинской партии в 1960 г.)	1961	Там же, № 08878
12	Сушков П. А.	Предварительный отчет Брянтинской геологической партии Амурской экспедиции за 1946 г.	1946	Там же, № 06477
13	Сыропятов Б. А.	Отчет о проверке завяки на золото на р. Ср. Кохани	1941	Там же, № 01593
14	Шека С. А., Змин С. С.	Петрология и рудоносность основных и ультраосновных пород юга Дальнего Востока	1962	Там же

Продолжение прилож. 1

**ПРИЛОЖЕНИЕ 2**  
**СПИСОК ПРОМЫШЛЕННЫХ МЕСТОРОЖДЕНИЙ ПОЛЕЗНЫХ**  
**ИСКОПАЕМЫХ, ПОКАЗАННЫХ НА ЛИСТЕ N-52-VIII КАРТЫ**  
**ПОЛЕЗНЫХ ИСКОПАЕМЫХ М-БА 1:200 000**

№ по карте	Индекс клетки на карте	Наименование месторождения и вид полезного ископаемого	Состояние эксплуатации	Тип месторождения (К—коренное, Р—россыпное)	№ индустриальной зоны по списку (прилож. 1)
------------	------------------------	--	------------------------	---	---

**Благородные металлы**

*Золото*

85	IV-2	кп. Ванкачи	Не эксплуатируется	Р	7
29	II-1	р. Брянта, в 48 км выше устья р. Десс (коша Кравцова)	То же	Р	7
34	II-1	р. Брянта, в 42 км выше устья р. Десс (коша Ракова)	" "	Р	7
36	II-1	р. Брянта, в 38 км выше устья р. Десс	" "	Р	7
44	II-1	р. Брянта, в 26 км выше устья р. Десс	" "	Р	7
73	IV-1	р. Брянта, в 0,1 км выше устья р. Угалги	" "	Р	7
74	IV-1	р. Брянта, в 0,1 км ниже устья р. Угалги	" "	Р	7
76	IV-1	р. Брянта, в 11 км ниже устья р. Угалги	" "	Р	7
79	IV-1	р. Брянта, в 18 км ниже устья р. Угалги (коша Седло—Левобережная)	" "	Р	7
77	IV-1	р. Бульбутахта	" "	Р	7
32	II-1	р. Десс, в 43 км от устья (коша Левобережная)	" "	Р	7
57	III-1	р. Десс, в 1 км от устья (коша левого берега)	" "	Р	7
46	II-1	р. Десс, в 15 км от устья (коша правого берега)	" "	Р	7
45	II-1	р. Десс, в 20 км от устья (коша правого берега)	" "	Р	7

*Продолжение прилож. 2*

39	II-1	р. Десс, в 36,5 км от устья (коша правого берега)	Не эксплуатируется	Р	7
37	II-1	р. Десс, в 38 км от устья (коша левого берега)	То же	Р	7
33	II-1	р. Десс, в 43,5 км от устья (коша левого берега)	" "	Р	7
30	II-1	р. Десс, в 45,5 км от устья (коша правого берега)	" "	Р	7
72	IV-1	руч. Дубровинский	" "	Р	7
14	I-1	руч. Ильдеус	" "	Р	7
64	III-3	руч. Каменистый	" "	Р	12
60	III-3	руч. Нижний левый приток р. Готанчи	" "	Р	13
27	I-3	руч. Михайловский	" "	Р	7
68	III-3	руч. Прав. Кохани	" "	Р	13
82	IV-2	руч. Рубановский	" "	Р	7
71	IV-1	р. Угалги	" "	Р	1, 7
88	IV-2	р. Утугай	" "	Р	7
23	I-2	р. Утугай, в 4,5 км ниже устья р. Утанак	" "	Р	7
51	II-2	р. Утугай, в 47,5 км ниже устья р. Утанак (коша Опаринская)	" "	Р	7
22	I-2	р. Утугай, в 7,5 км ниже устья р. Утанак	" "	Р	7
61	III-3	р. Черкес (б. руч. Матвеевский)	" "	Р	7

**ПРИЛОЖЕНИЕ 3**  
**СПИСОК НЕПРОМЫШЛЕННЫХ МЕСТОРОЖДЕНИЙ ПОЛЕЗНЫХ ИСКОПАЕМЫХ, ПОКАЗАННЫХ НА ЛИСТЕ N-52-VIII КАРТЫ ПОЛЕЗНЫХ ИСКОПАЕМЫХ М-БА 1 : 200 000**

№ по карте	Индекс клетки на карте	Наименование месторождения и вид полезного ископаемого	Состояние эксплуатации	Тип месторождения (К—коренное, Р—россыпное)	№ использованного материала по списку (прилож. 1)
<b>Благородные металлы</b>					
<i>Золото</i>					
86	IV-2	р. Банкачи-Сагтыр	Не эксплуатируется	Р	7
7	I-1	р. Брянта, в 67 км выше устья р. Десс (Увальная россыпь)	То же	Р	1, 7
84	IV-2	Водораздел ручьев Банкачи и Рубановского (Наторная марь)	"	Р	7
15	I-1	р. Десс, в 39—50,5 км от устья	"	Р	7
41	II-1	р. Десс, в 30 км от устья	"	Р	7
8	I-1	р. Десс, в 60 км от устья	"	Р	7
12	I-1	р. Десс, в 58 км от устья	"	Р	7
81	IV-2	р. Камит	"	Р	7
78	IV-1	р. Сиваки	"	Р	7

**ПРИЛОЖЕНИЕ 4**  
**СПИСОК ПРОЯВЛЕНИЙ ПОЛЕЗНЫХ ИСКОПАЕМЫХ, ПОКАЗАННЫХ НА ЛИСТЕ КАРТЫ ПОЛЕЗНЫХ ИСКОПАЕМЫХ М-БА 1 : 200 000**

№ по карте	Индекс клетки на карте	Название (местонахождение) проявления и вид полезного ископаемого	Характеристика проявления	№ использованного материала по списку
<b>Черные металлы</b>				
<i>Магнетитовые руды</i>				
11	I-1	Водораздел р. Амчуначи и р. Ильдеус	Осколки биотитовых и биотит-роговообманковых гнейсов с вкрапленностью магнетита и титаномагнетита	10
9	I-1	Левый борг р. Брянтты	Линза магнетита	10
75	IV-1	Правый борг р. Брянтты	То же	6
17	I-2	Левый борг р. Брянтты	Шпир магнетита в габбро	10
42	II-1	Левобережье р. Брянтты	Осколки амфиболового гнейса с вкрапленностью магнетита	10
48	II-2	Там же	Осколки метаморфизованных габброидов с вкрапленностью титаномагнетита	10
4	I-1	Правый борг р. Десс	Вкрапленность титаномагнетита в габбро-амфиболите	10
3	I-1	Левый берег р. Десс	Глыбы габбро-амфиболита с вкрапленностью магнетита и титаномагнетита	10
2	I-1	Истоки р. Ильдеус	Осколки габбро-амфиболита с вкрапленностью магнетита	10
<i>Титан</i>				
65	III-4	Водораздел рр. Лев. Кохвани и Намнич	Пласт габбро-амфиболита с вкрапленностью ильменита	11

№ по карте	Индекс клетки на карте	Название (местонахождение) проявления и вид полезного ископаемого	Характеристика проявления	№ использованного материала по списку
------------	------------------------	---	---------------------------	---------------------------------------

**Цветные металлы**

№ по карте	Индекс клетки на карте	Название (местонахождение) проявления и вид полезного ископаемого	Характеристика проявления	№ использованного материала по списку
67	III-4	<i>Медь</i> Бассейн р. Мульмути	Ореол рассеяния	
47	II-1	<i>Свинец</i> Левый борт р. Брянты	Галенит в протоложке катаклазированного кварцевого порфира	10
6	I-1	Левый борт р. Десс	Вкрапленность галенита в окварцованных метаморфизованных габброидах	9
56	II-4	Левобережье р. Кохани	Спектрометаллометрический ореол рассеяния	11
68	III-4	Бассейн р. Мульмути	То же	11
69	III-4	Левый борт р. Мульмути	Галенит в протоложке катаклазированного метаморфизованного габбро	11
59	III-3	Среднее течение р. Прав. Кохани	Спектрометаллометрический ореол рассеяния	11
24	I-2	Левобережье руч. Рыбного	Галенит в протоложке полеволпатово-кварцевой породы	10
54	II-2	Левый борт р. Утугай	Галенит в протоложке раннежелового гранита	10
18	I-2	<i>Никель</i> Правый берег р. Брянты	Мелкая вкрапленность пегматита в жилах пироксенитов и перидотитов	5, 14
19	I-2	Левобережье р. Брянты	Вкрапленность пирротина и пегматита в жилах ультрабазитов	5
1	I-1,2	Бассейн левых притоков р. Брянты	Спектрометаллометрический ореол рассеяния	11
16	I, II-1,2	Бассейн р. Брянты	То же	11
20	I-2,3	Среднее течение р. Утанак	"	11

№ по карте	Индекс клетки на карте	Название (местонахождение) проявления ископаемого	Характеристика проявления	№ использованного материала по списку
------------	------------------------	---	---------------------------	---------------------------------------

**Благородные металлы**

№ по карте	Индекс клетки на карте	Название (местонахождение) проявления ископаемого	Характеристика проявления	№ использованного материала по списку
13	I-1	<i>Золото</i> Левый борт р. Десс	Следы золота в окварцованном пиритизированном граните	12
35	II-1	Левобережье р. Десс	Следы золота в измененном порфирите	12
43	II-1	Левый борт р. Десс	Следы золота в патгматите	12
38	II-1	Правый борт р. Десс	Следы золота в пиритизированном гнейсе	12
5	I-1	Там же	Следы золота в пидритизированных габброидах с прожилками кварца	12

**Редкие металлы**

№ по карте	Индекс клетки на карте	Название (местонахождение) проявления ископаемого	Характеристика проявления	№ использованного материала по списку
89	IV-4	<i>Олово</i> Истоки р. Октагити	Спектрометаллометрический ореол рассеяния	11
25	I-3	<i>Вольфрам</i> Бассейн р. Утанак	Ореол рассеяния шеелита	10
66	III-4	<i>Молибден</i> Правый борт р. Лев. Кохани	Вкрапленность молибденита в обломках катаклазированных метаморфизованных габброидов	11
70	III-4	Правый борт р. Мульмути	Молибденит в протоложке обожженного роговобманкового гнейса	11
54	II-2	Левобережье р. Туугул	Спектрометаллометрический ореол рассеяния	10
49	II-2	Левый борт р. Утугай	Молибденит в протоложке мидонитизированного гнейса	10

№ по карте	Индекс клетки на карте	Название (местонахождение) проявления и вид полезного ископаемого	Характеристика проявления	№ польного матерала по списку
26	I-3	Правый борт р. Утугай	Моллибденит в протолочке окарилованного биогитового гнейса *	10
58	III-2	Левый борт р. Утугай	Моллибден установлен спектральным анализом в раннепротерозойских гранитоидах	6
88	IV-4	<i>Лантан и церий</i> Бассейн р. Баралгус	Спектрометаллометрический ореол рассеяния лантана и церия	11
80	IV-2	Бассейн р. Мутаг и истоки р. Ковакта	То же	11
87	IV-3	Правобережье р. Прав. Кохани	То же	11
90	IV-4	<i>Торий</i> Бассейн рр. Улагир и Нады-Октагли	Ореол рассеяния тория	11

## Неметаллические полезные ископаемые

55	II-2	<i>Горный хрусталь</i> Левый борт р. Утугай	Друзы кристаллов горного хрусталя в пустотах и трещинах в лейкократовых раннекембрийских породах	10
52	II-2	<i>Флюорит</i> Левый борт р. Утугай	Кварцево-флюоритовые прожилки в гранодиорит-порфирах	10
62	III-3	<i>Барит</i> Правый берег р. Прав. Кохани	Барит в протолочке катаклазированных габброидов	11

№ по карте	Индекс клетки на карте	Название (местонахождение) проявления и вид полезного ископаемого	Характеристика проявления	№ польного матерала по списку
28	I-4	Правый берег р. Утугай	Барит в протолочке катаклазированного пермита	11
21	I-2	<i>Слюда-мусковит</i> р. Брянта, в 85 км выше устья р. Десс	Мусковит в пермитах вых. жилах	8, 10
10	I-1	р. Брянта, в 70 км выше устья р. Десс	То же	10
31	II-1	Правый борт р. Брянта, в 48 км выше устья р. Десс	То же	10
40	II-1	Правый борт р. Брянта, в 34 км выше устья р. Десс	То же	10
50	II-2	Левый борт р. Утугай	То же	10